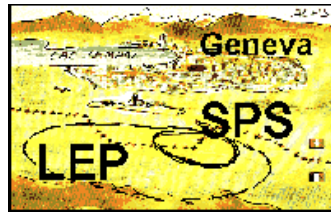


Messungen zur Photonstruktur bei



Richard Nisius, CERN

Karlsruhe, 15.05.2000

- Einleitung
- 1. QED Struktur
- 2. Hadronische Struktur
- 3. Zukünftige Messungen zur Photonstruktur
- Zusammenfassung und Ausblick

Das Photon in unserer Welt

Beobachtung	Photonenergie
	meV
Molekülrotationen	eV
Urlaubssonne	
Wasserstoff Atomspektrum	keV
Röntgenstrahlung	MeV
e^+e^- Paarerzeugung	GeV
⇒ Bremsstrahlung bei LEP	TeV
Kosmische Strahlung	↔

Das Photon im Standardmodell

Die Bausteine der Materie

$$\begin{array}{l} \text{Quarks} \\ \left(\begin{array}{c} u \\ d \end{array} \right) \left(\begin{array}{c} c \\ s \end{array} \right) \left(\begin{array}{c} t \\ b \end{array} \right) \\ \\ \text{Leptonen} \\ \left(\begin{array}{c} \nu_e \\ e \end{array} \right) \left(\begin{array}{c} \nu_\mu \\ \mu \end{array} \right) \left(\begin{array}{c} \nu_\tau \\ \tau \end{array} \right) \end{array}$$

Wechselwirkungen der Materie durch Eichbosonen

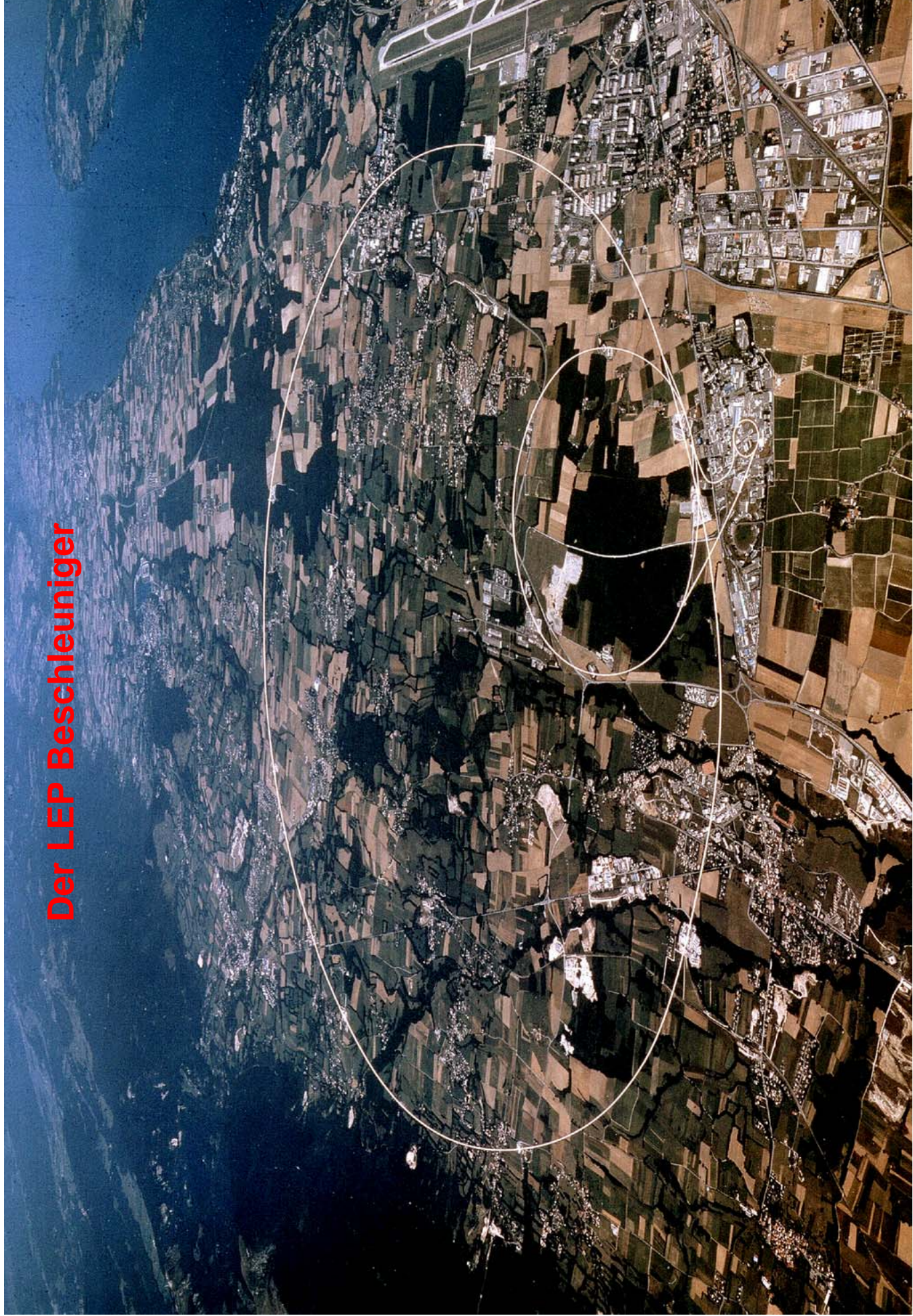
Photon(γ), W^\pm und Z^0 Bosonen, und Gluonen

Messungen zu Eichbosonen bei LEP

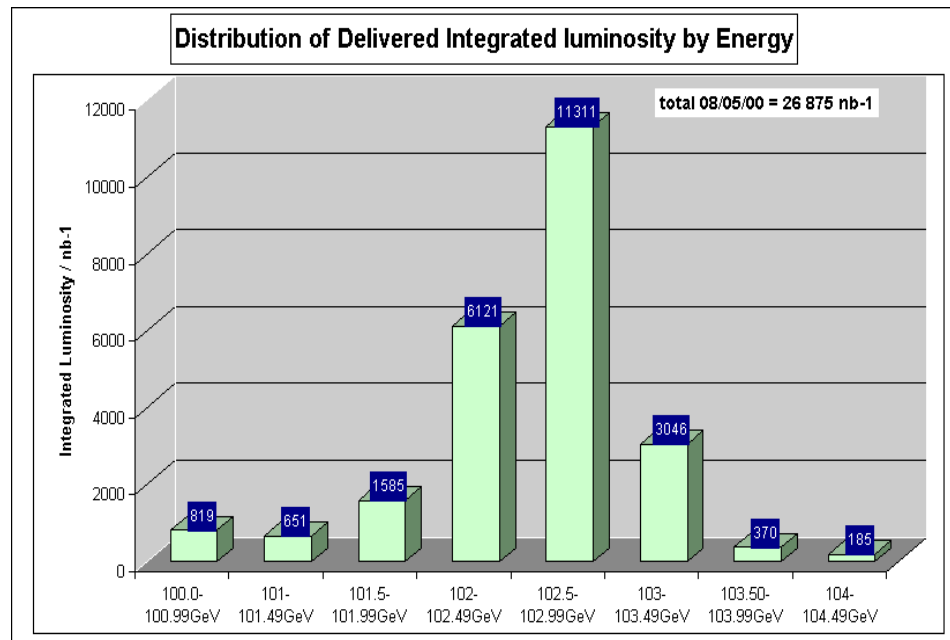
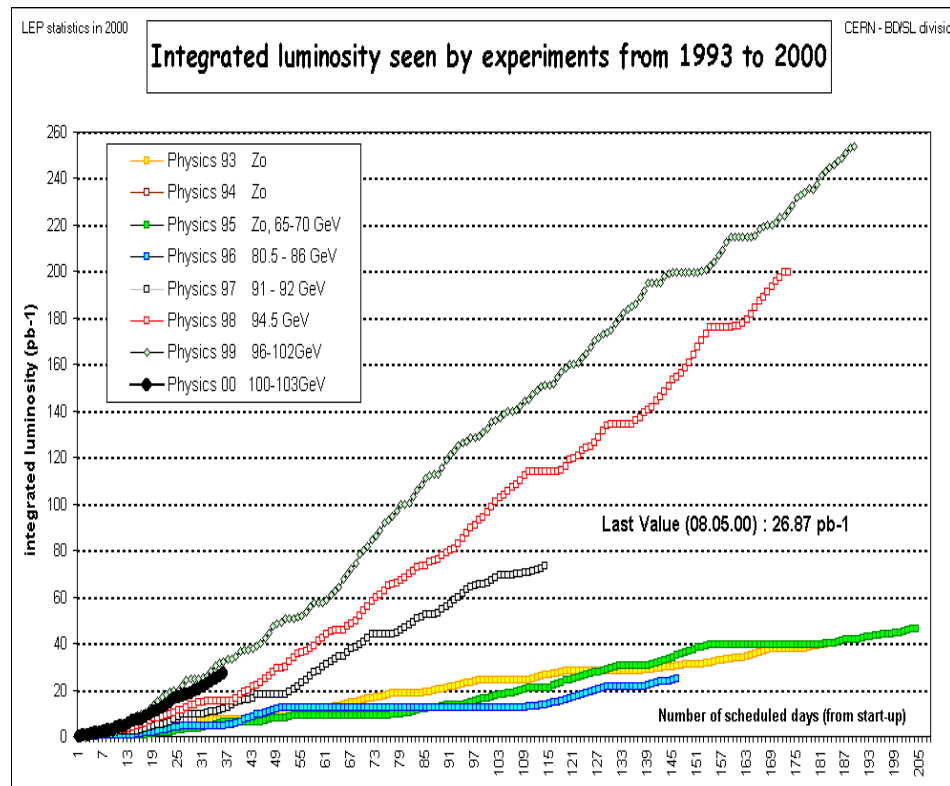
Objekt	Messung
Z^0	Präzisionsmessungen bei LEP100
W^\pm	M_W auf 75 MeV bei LEP200
Gluonen	QCD Kopplung $\alpha_s(M_{Z^0})$ auf ca. 5% bei LEP100
Photon	Photonstruktur auf 10–30% bei LEP100–200

Messungen zur Photonstruktur geben Aufschluß über ein fundamentales Eichboson des Standardmodells.

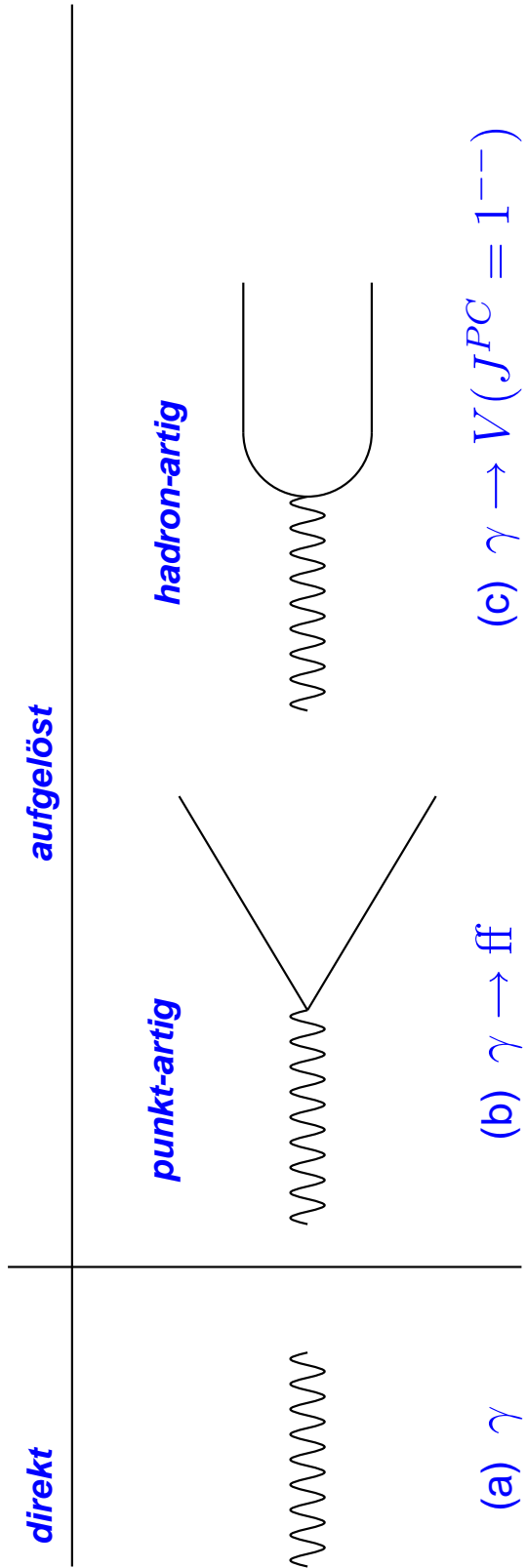
Der LEP Beschleuniger



Die integrierten Luminositäten



Warum sprechen wir von Photonstruktur?

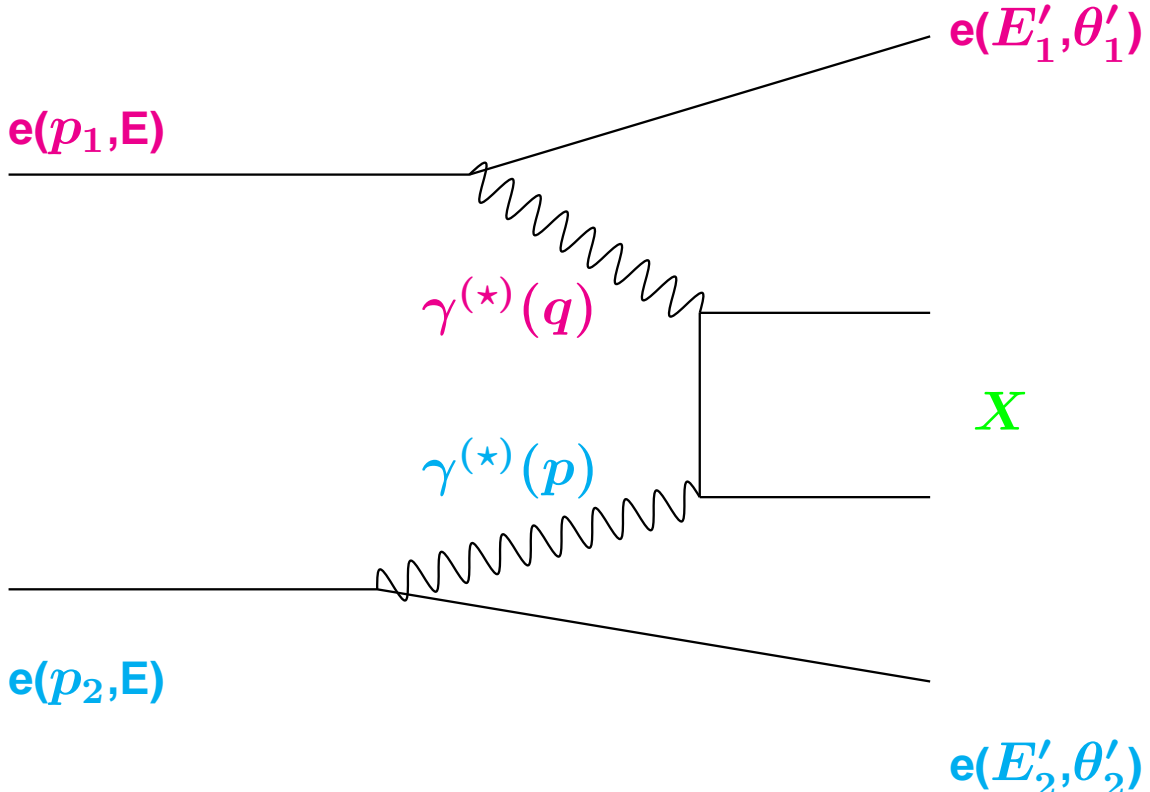


In (a) wechselwirkt das Photon als Ganzes \Rightarrow KEINE Struktur

Die Fluktuationen (b,c) können wegen der Unschärferelation existieren \Rightarrow Photon 'Struktur'

Die typische Lebensdauer der Fluktuationen steigt mit der Photonenergie an und fällt mit der Photovirtualität ab

Die Reaktion $e^- e^- \rightarrow e^- e^- X$



$$d^6\sigma = \frac{d^3p'_1 d^3p'_2}{E'_1 E'_2} \frac{\alpha^2}{16\pi^4 Q^2 P^2} \left[\frac{(q \cdot p)^2 - Q^2 P^2}{(p_1 \cdot p_2)^2 - m_e^2 m_e^2} \right]^{1/2}$$

$$\begin{aligned} & \left(4\rho_1^{++}\rho_2^{++}\sigma_{TT} + 2\rho_1^{++}\rho_2^{00}\sigma_{TL} \right. \\ & + 2\rho_1^{00}\rho_2^{++}\sigma_{LT} + \rho_1^{00}\rho_2^{00}\sigma_{LL} + \\ & \left. 2|\rho_1^{+-}\rho_2^{+-}|\tau_{TT} \cos 2\bar{\phi} - 8|\rho_1^{+0}\rho_2^{+0}|\tau_{TL} \cos \bar{\phi} \right) \end{aligned}$$

$$Q^2 = -q^2 = 2E E'_1 (1 - \cos \theta'_1)$$

$$P^2 = -p^2 = 2E E'_2 (1 - \cos \theta'_2)$$

$$x = \frac{Q^2}{Q^2 + W^2 + P^2}$$

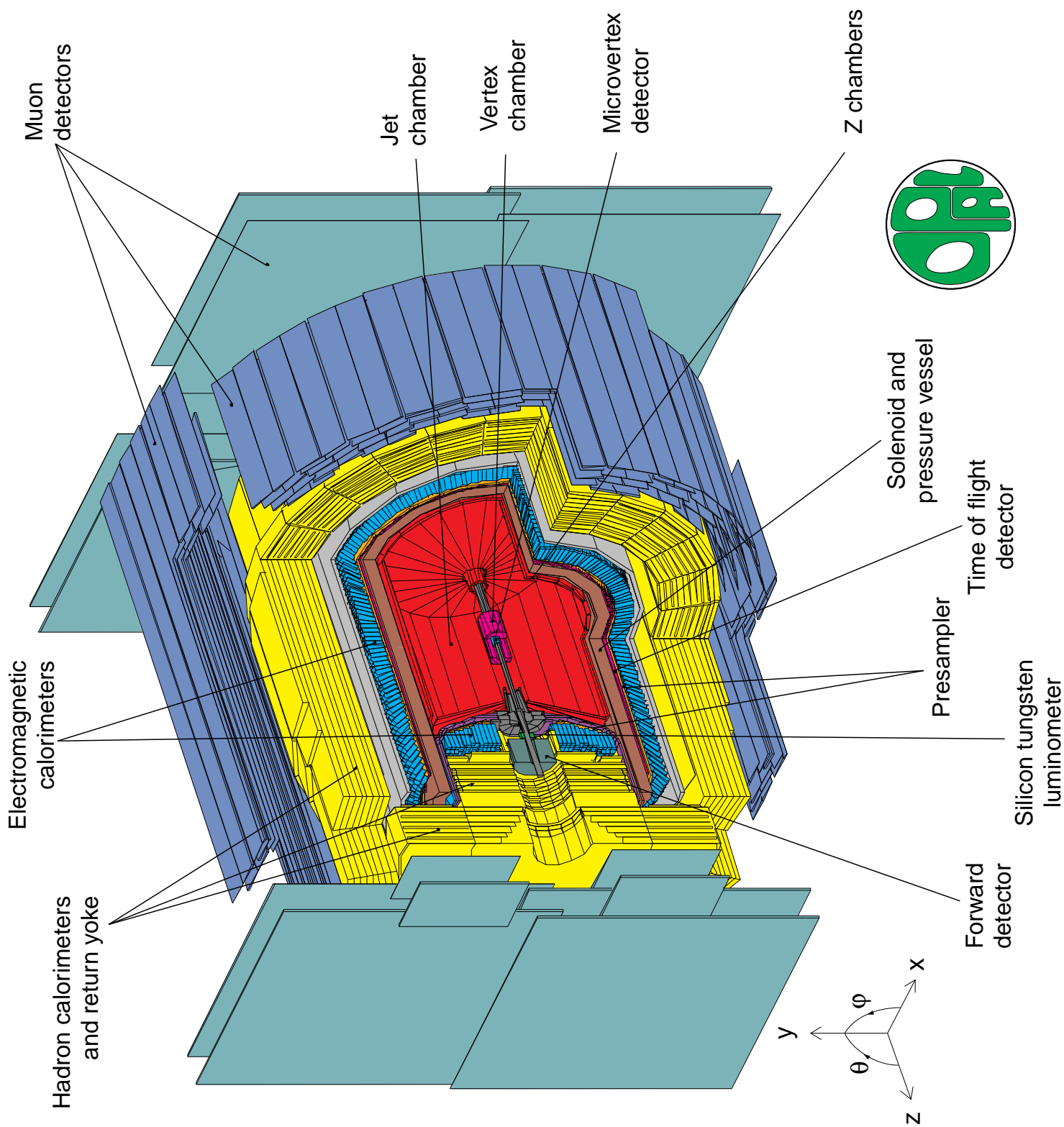
Limit der tiefinelastischen Elektron-Photon Streuung

Using:

$$\begin{aligned} 2x F_T^\gamma &= \frac{Q^2}{4\pi^2 \alpha} \sigma_{TT}(x, Q^2) \\ F_L^\gamma &= \frac{Q^2}{4\pi^2 \alpha} \sigma_{LT}(x, Q^2) \\ F_2^\gamma &= 2x F_T^\gamma + F_L^\gamma \end{aligned}$$

Im Limit $(p \cdot q)^2 - Q^2 P^2 \approx (p \cdot q)^2$ reduziert sich der Wirkungsquerschnitt zu:

$$\begin{aligned} \frac{d^4 \sigma}{dx dQ^2 dz dP^2} &= \frac{d^2 N_\gamma^T}{dz dP^2} \cdot \frac{2\pi \alpha^2}{x Q^4} \cdot [1 + (1-y)^2] \cdot \\ &\quad \underbrace{\left[2x F_T^\gamma(x, Q^2) + \frac{2(1-y)}{1+(1-y)^2} F_L^\gamma(x, Q^2) \right]}_{\rightarrow F_2^\gamma \text{ for } y \ll 1} \\ \text{mit: } \frac{d^2 N_\gamma^T}{dz dP^2} &= \frac{\alpha}{2\pi} \left[\frac{1 + (1-z)^2}{z} \frac{1}{P^2} - \frac{2 m_e^2 z}{P^4} \right] \end{aligned}$$



Vorhersagen zur Photonstruktur

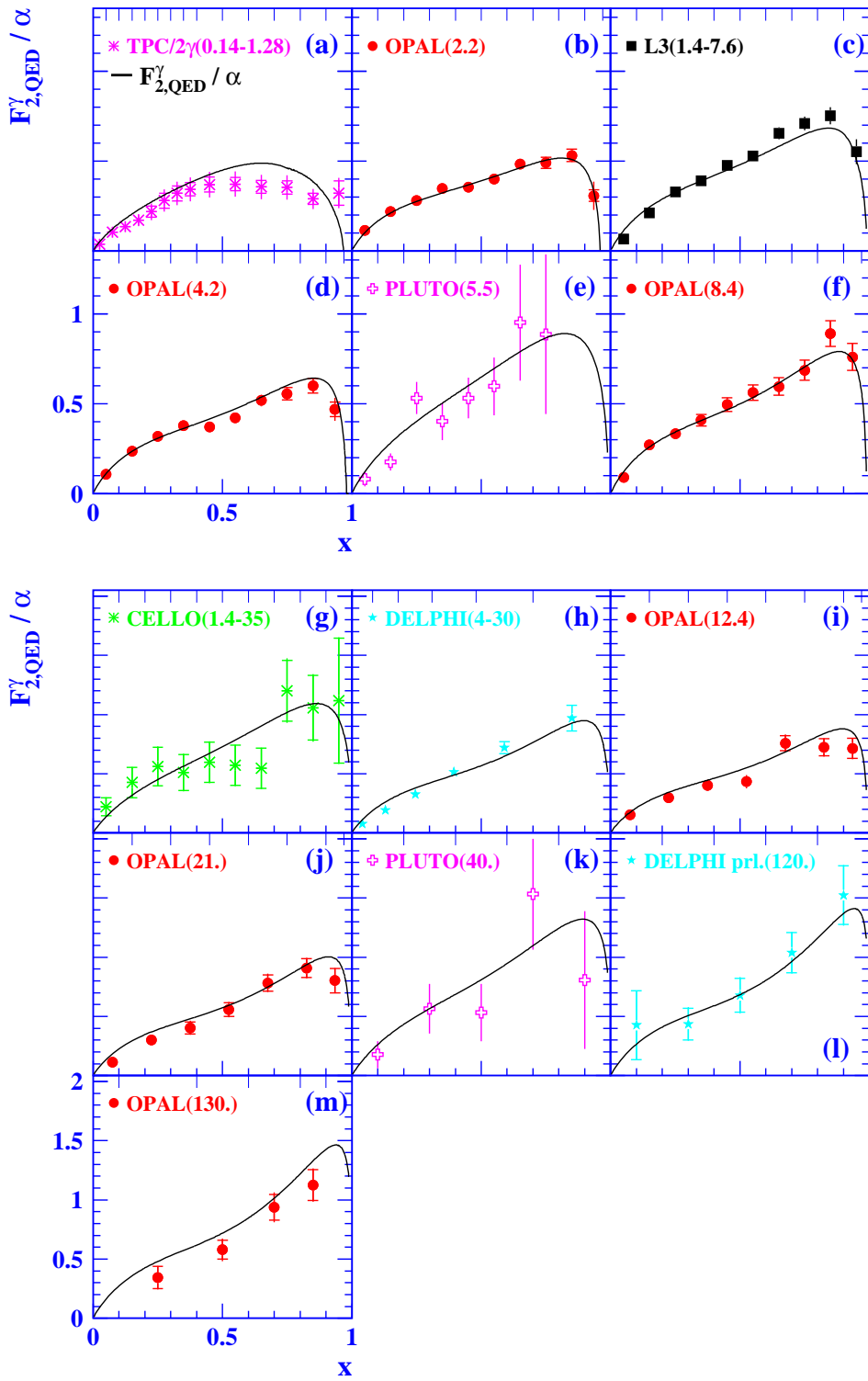
QED Struktur

1. Die punkt-artige Komponente führt zum Anstieg der QED Struktur für große x .
2. Die Struktur virtueller Photonen ist unterdrückt.
3. Virtuelle Photonen haben eine longitudinale Komponente.
4. Interferenzterme sind wichtig für virtuelle Photonen.

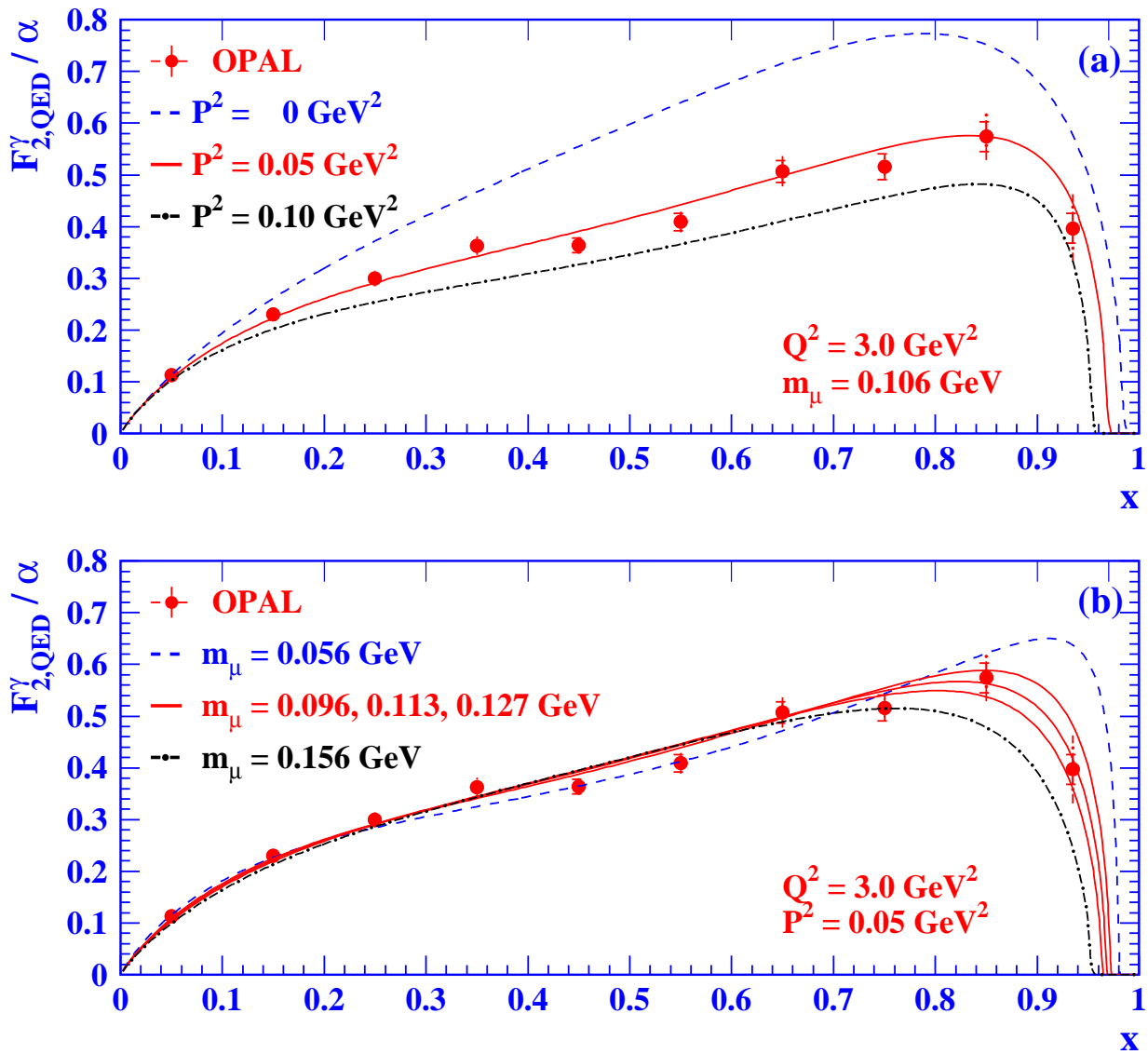
Hadronische Struktur

1. Im Bereich in dem die punkt-artige Komponente dominiert, gelten die globalen Aussagen der QED modulo QCD Korrekturen.
2. Kennt man die Partonverteilungen im Photon bei einem Impulsübertrag, dann wird die Entwicklung mit Q^2 von der perturbativen QCD vorhergesagt.
3. Insbesondere zeigt die Q^2 Entwicklung der Photonstruktur einen positiven Anstieg für alle Werte von x .
4. Die QCD Dynamik erzwingt bei festem Q^2 einen steilen Anstieg der Struktur für kleine Werte von x .

Alle Daten für $F_{2,\text{QED}}^{\gamma}$

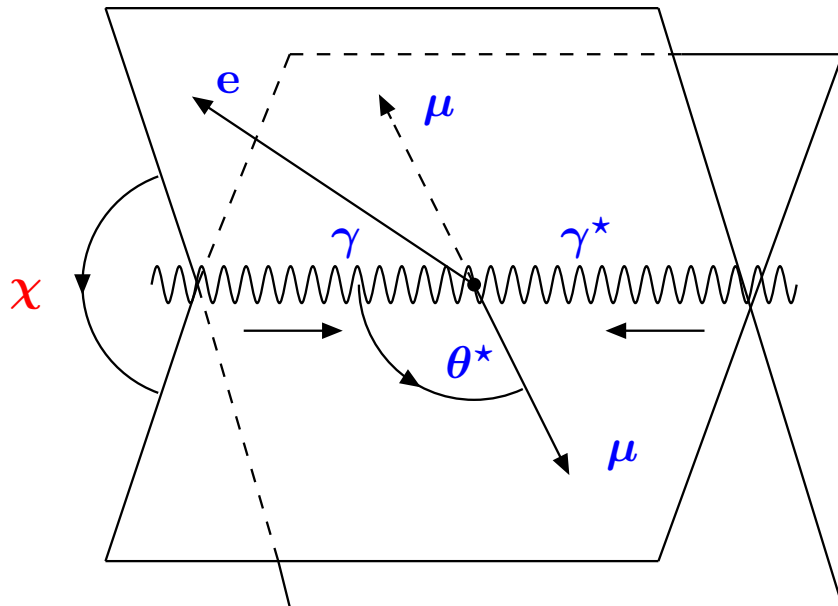


P^2 und m_μ Abhangigkeiten von F_2^γ



Die P^2 Abhangigkeit ist in den Daten deutlich sichtbar. Die Muon Masse kann mit $\pm 15\%$ Genauigkeit bestimmt werden.

Azimuthale Korrelationen



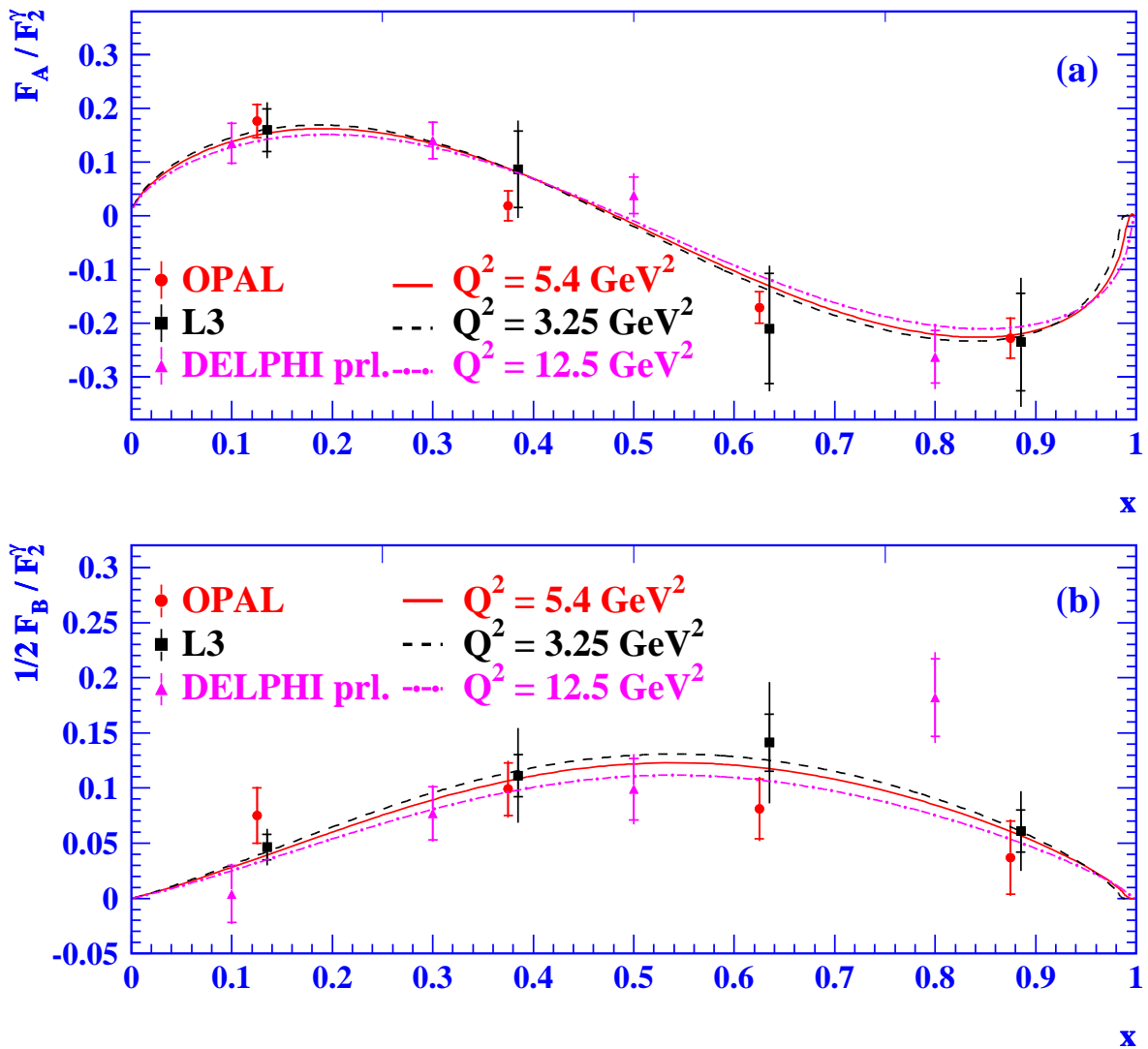
$$d\sigma \propto 1 - \rho(y) F_A^\gamma / F_2^\gamma \cos \chi + \frac{1}{2} \epsilon(y) F_B^\gamma / F_2^\gamma \cos 2\chi$$

$$\epsilon(y) = \frac{2(1-y)}{1+(1-y)^2} \approx 1, \quad \rho(y) = \frac{(2-y)\sqrt{1-y}}{1+(1-y)^2} \approx 1$$

Die Abhangigkeit von χ gibt Zugang zu anderen Strukturfunktionen neben F_2^γ .

Die Strukturfunktionen

$$F_A^\gamma \text{ und } F_B^\gamma$$

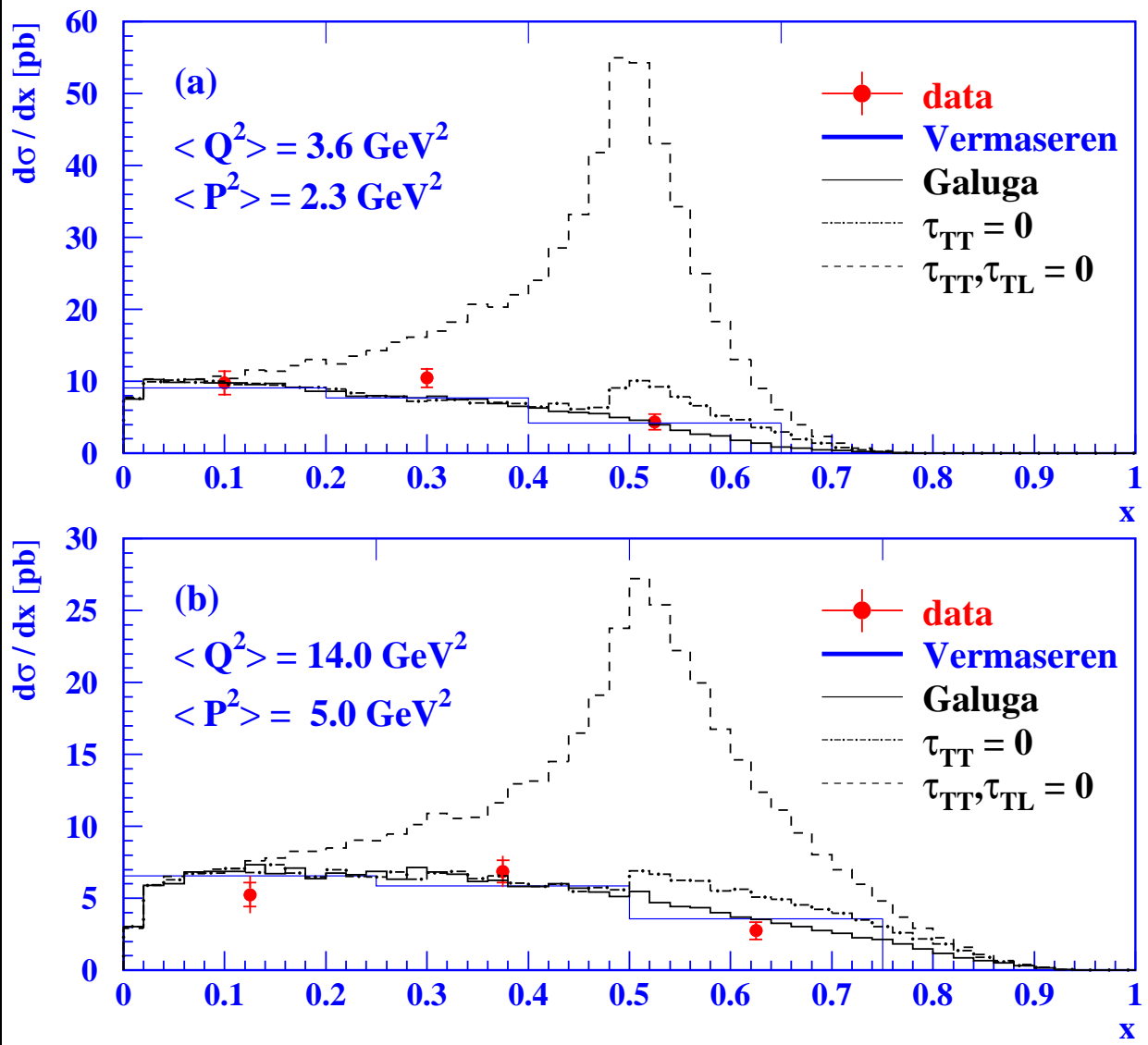


Dies ist die erste Messung die über die Messung des differentiellen Wirkungsquerschnitts hinausgeht.

Wirkungsquerschnitt für

$ee \rightarrow ee\gamma^*\gamma^* \rightarrow ee\mu^+\mu^-$

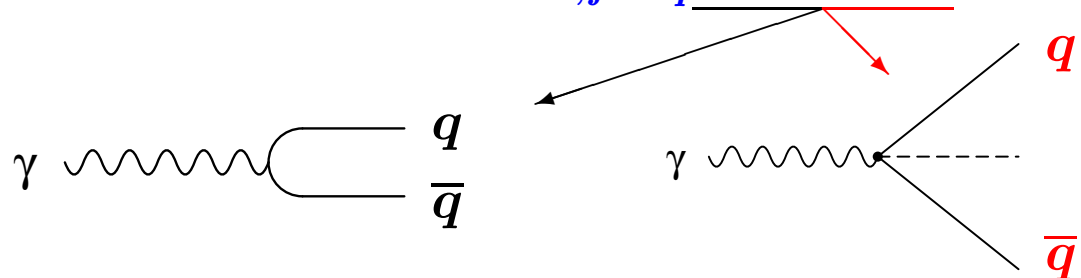
OPAL



Die QED Vorhersage stimmt gut mit den Daten überein
 und die Existenz der Interferenzterme wurde zum
 ersten Mal klar gesehen.

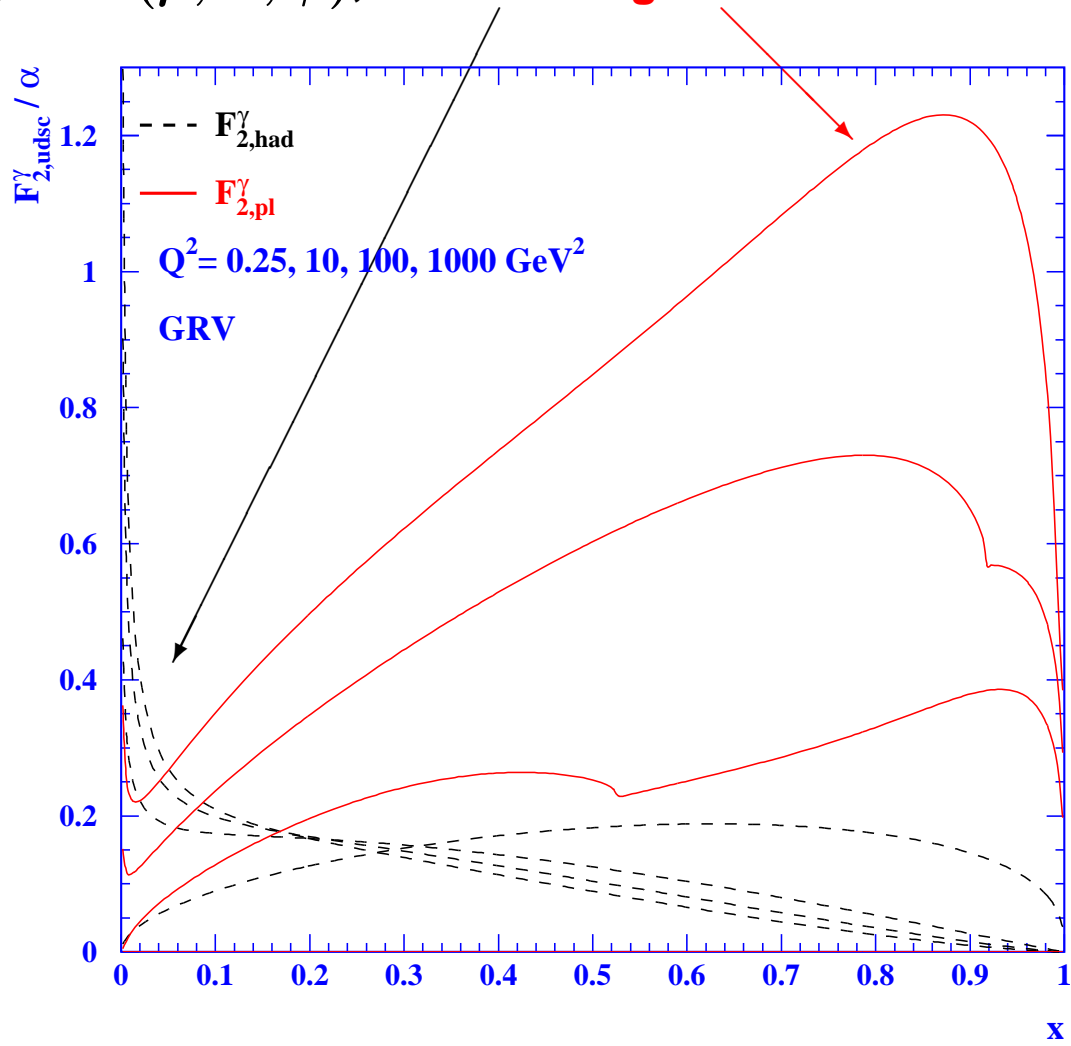
Beiträge zu $F_2^\gamma(x, Q^2)$

$$F_2^\gamma(x, Q^2) = x \sum_{c,f} e_q^2 f_{q,\gamma}(x, Q^2)$$

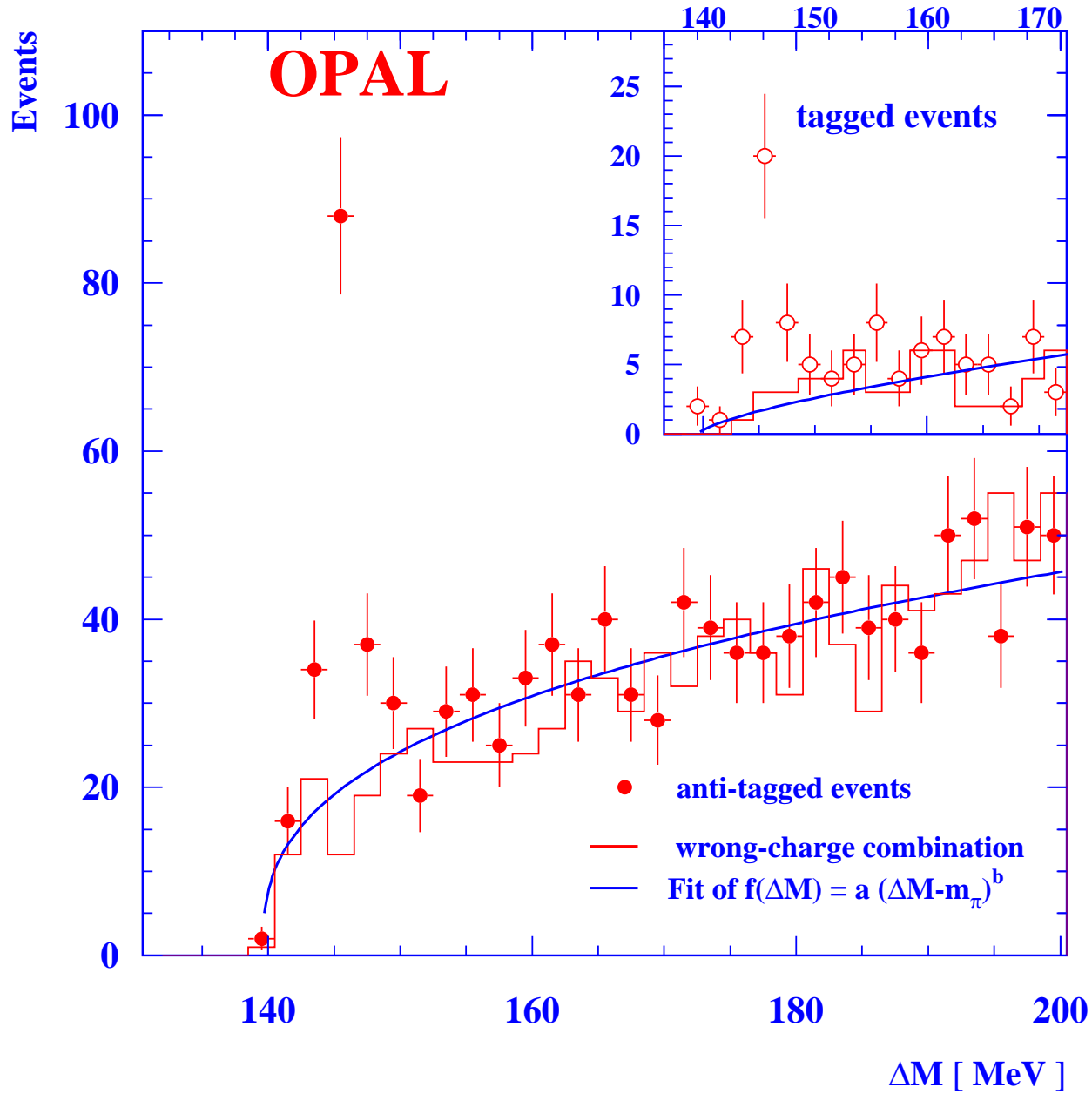


hadron-artig, nicht-perturbativ
e.g. VMD(ρ, ω, ϕ), **kleines- x**

punkt-artig, perturbativ
großes- x

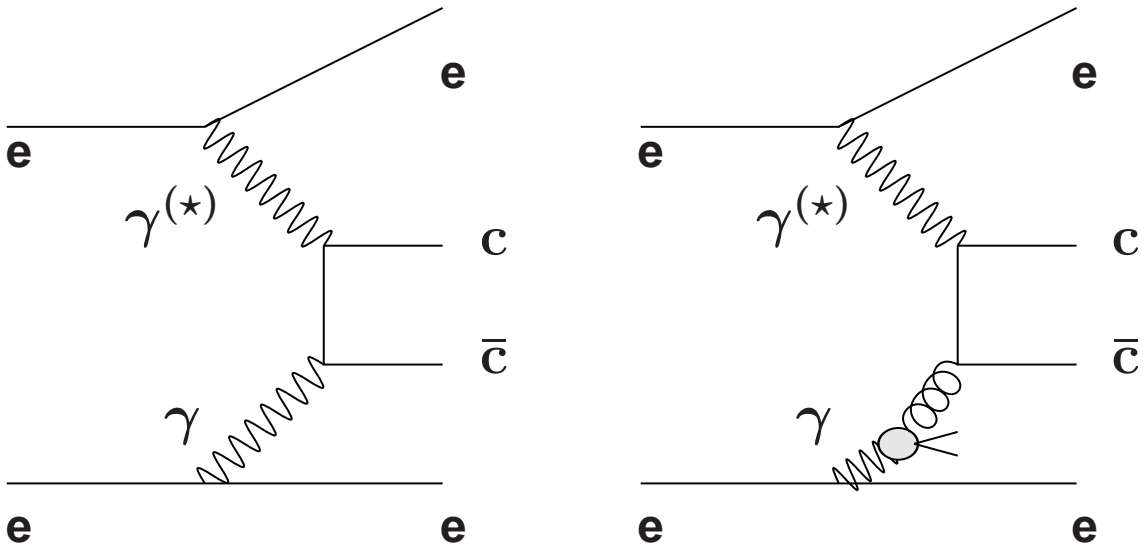


Charm Quarks identifiziert durch D[★]s



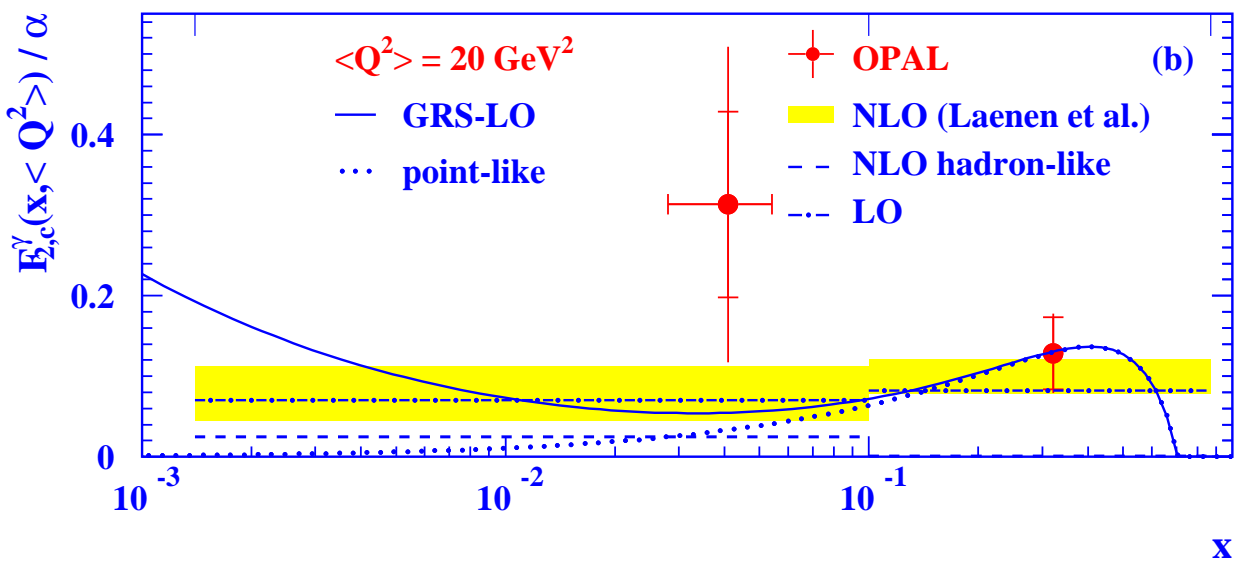
Ein klares Signal im $\Delta(M) = M(D^*) - M(D^0)$
Massenspektrum ist sichtbar für anti-tagged und
tagged Ereignisse

Die erste Messung von $F_{2,c}^\gamma$

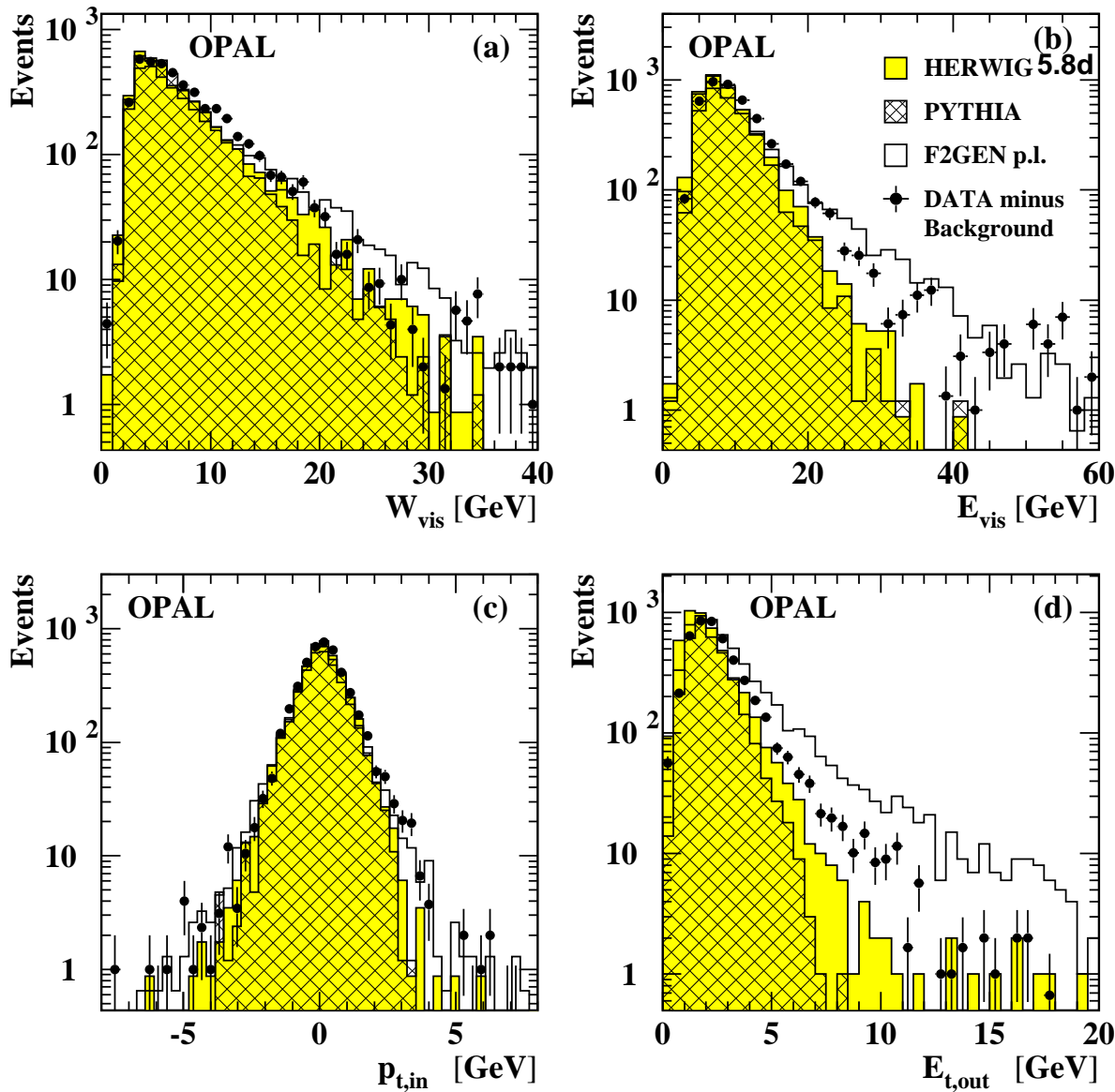


punkt-artig, rein perturbative QCD Vorhersage, dominiert bei großen- x

hadron-artig, hängt von f_g^γ ab, dominiert bei kleinen- x

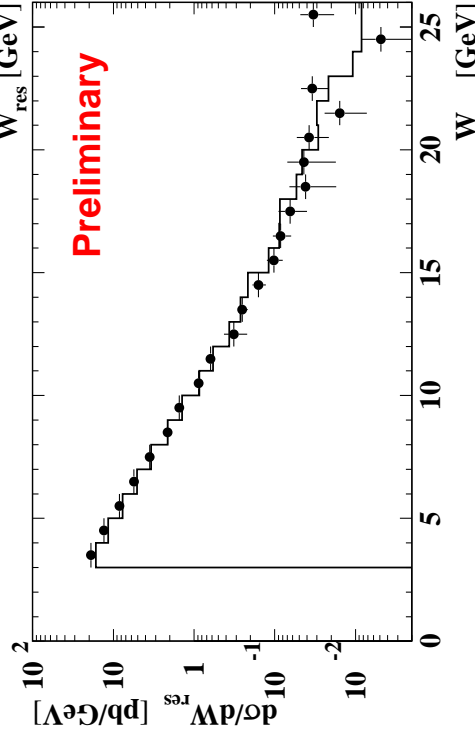
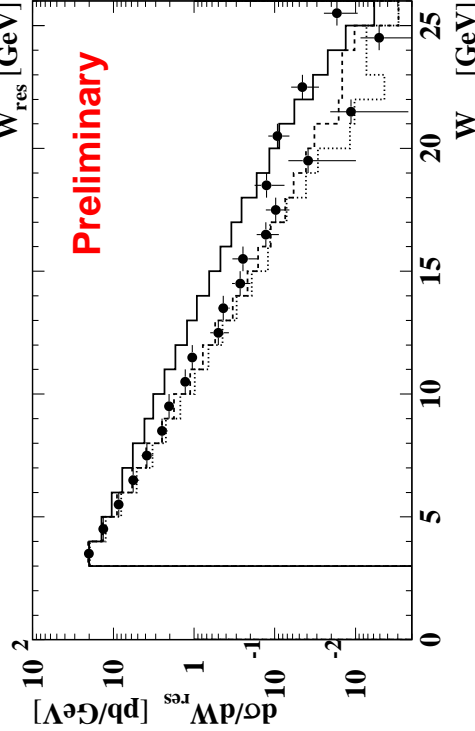
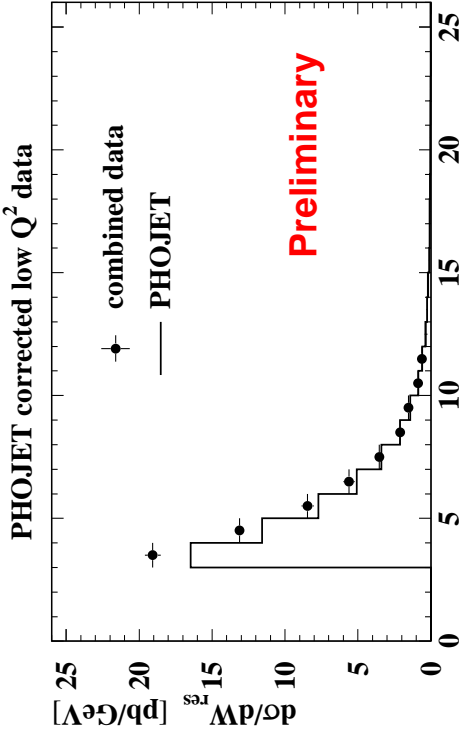
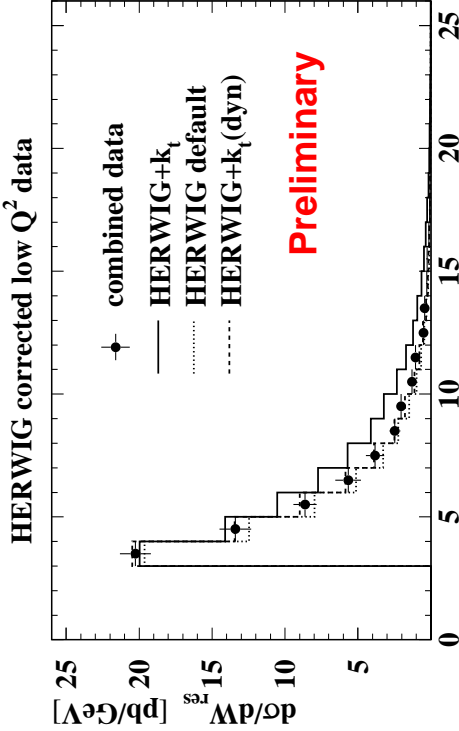


Beschreibung des hadronischen Endzustands



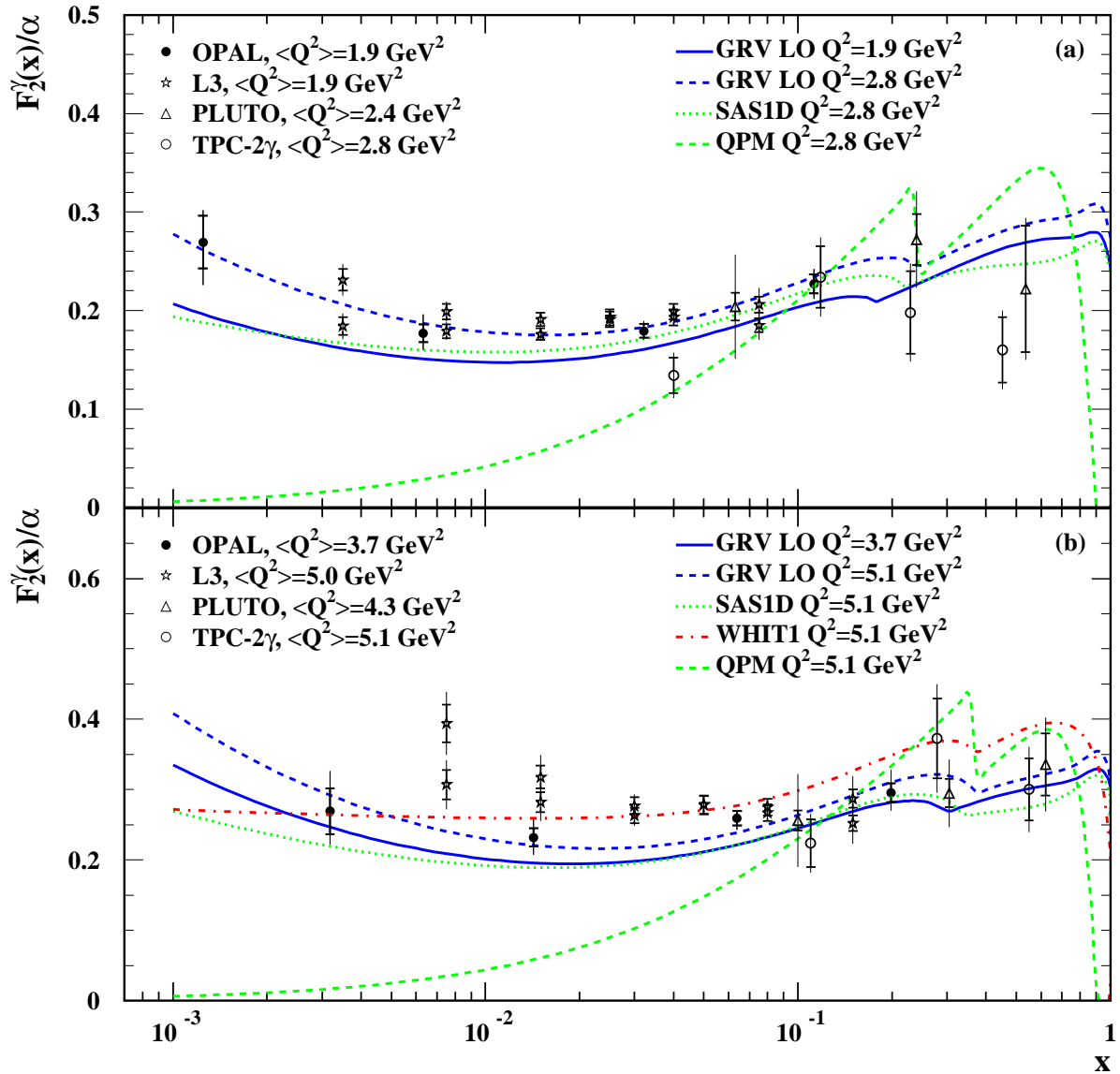
Signifikante Unterschiede zwischen Daten und Monte Carlo Vorhersagen sind sichtbar (OPAL '96)

Vergleich zu kombinierten LEP Daten



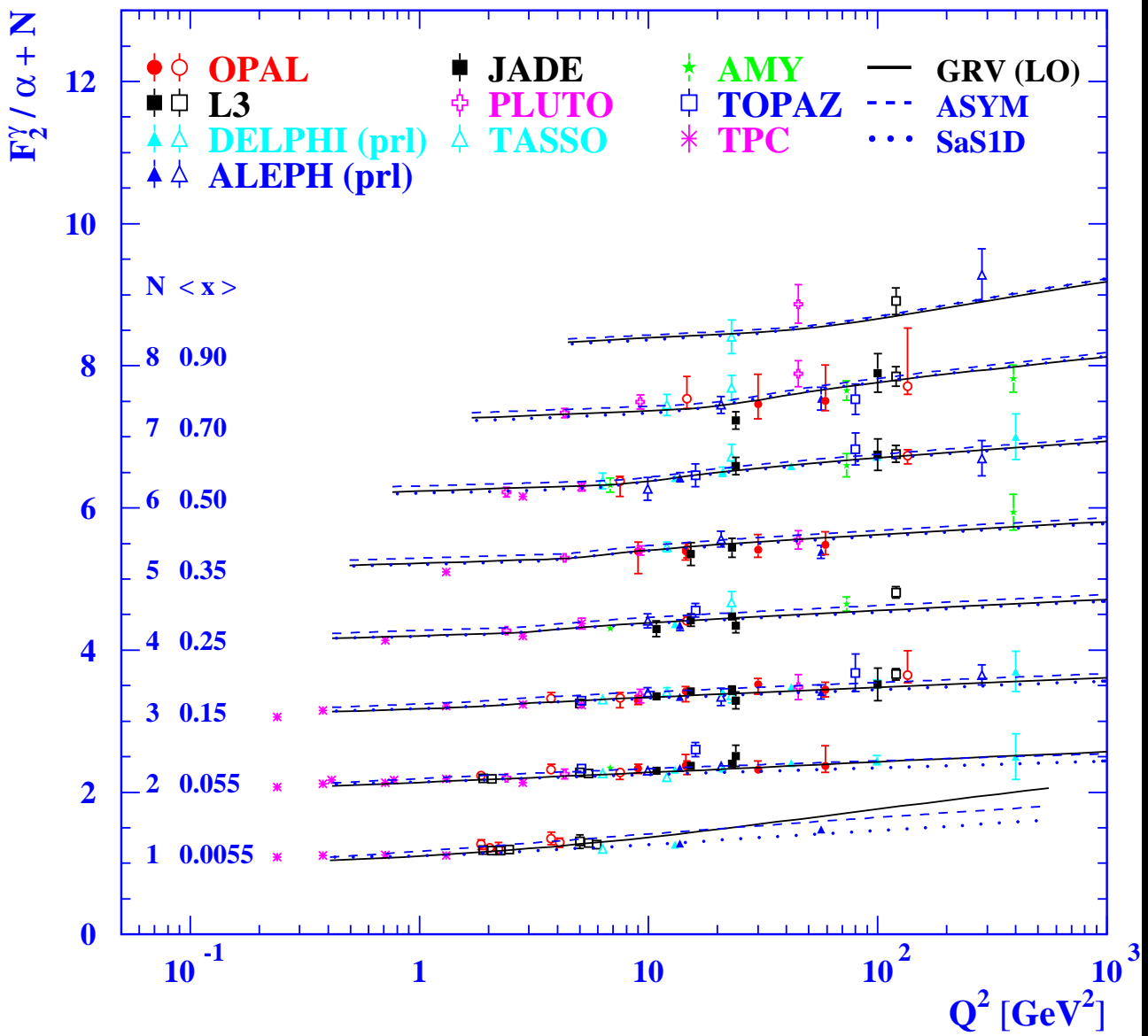
Die kombinierten LEP Daten sind ein wertvoller Input zur weiteren Verbesserung der Monte Carlo Modelle (LEP Two-Photon WG '99)

Messungen bei kleinem Q^2 und x



GRV(LO) und SaS1D sind etwas niedrig im Vergleich zu den Daten, die zusätzlich bezüglich des P^2 Effekt nicht korrigiert sind.

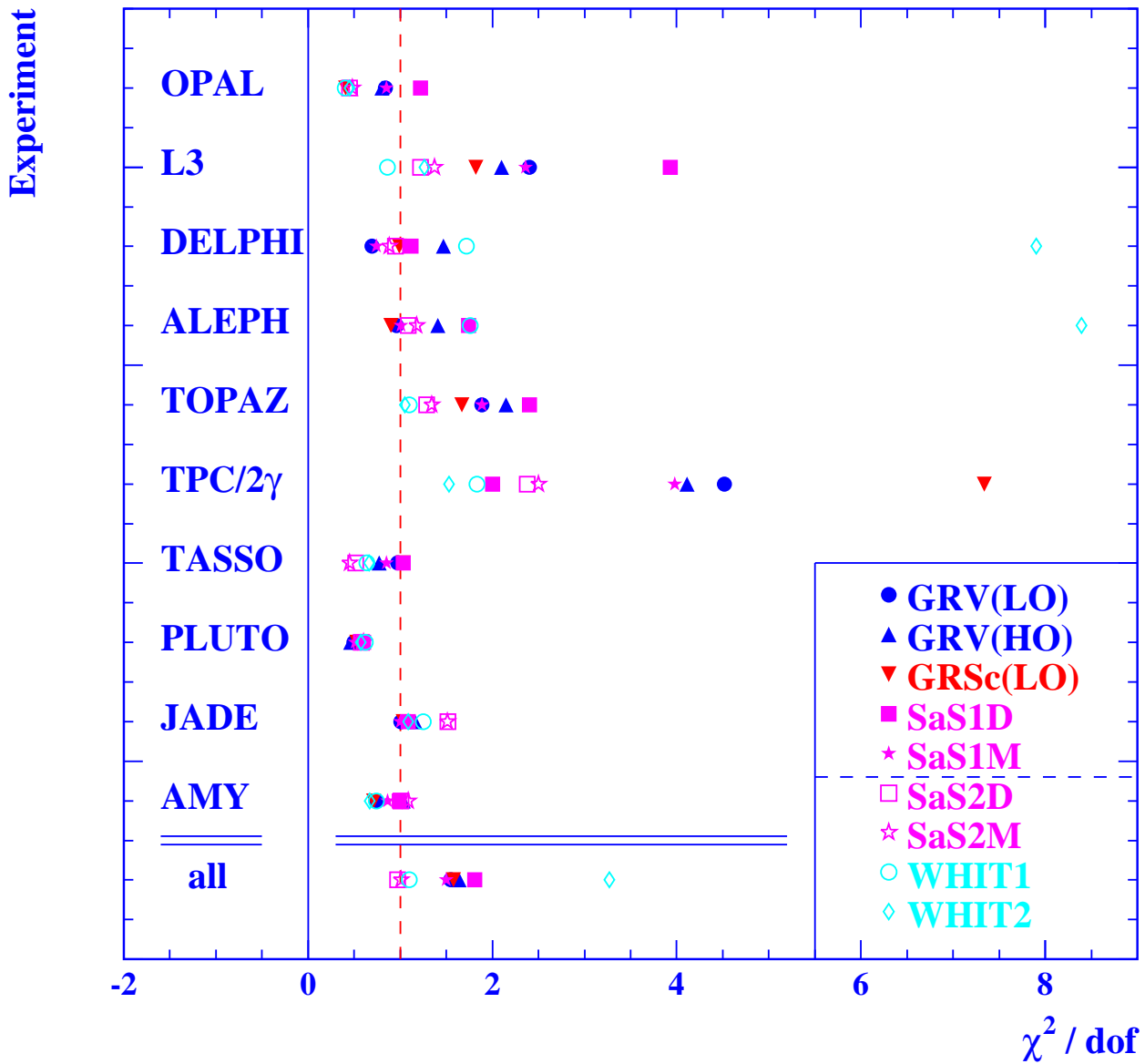
Q^2 Entwicklung von F_2^γ für $n_f = 4$



Der generelle Trend der Daten wird von den Parametrisierungen beschrieben.

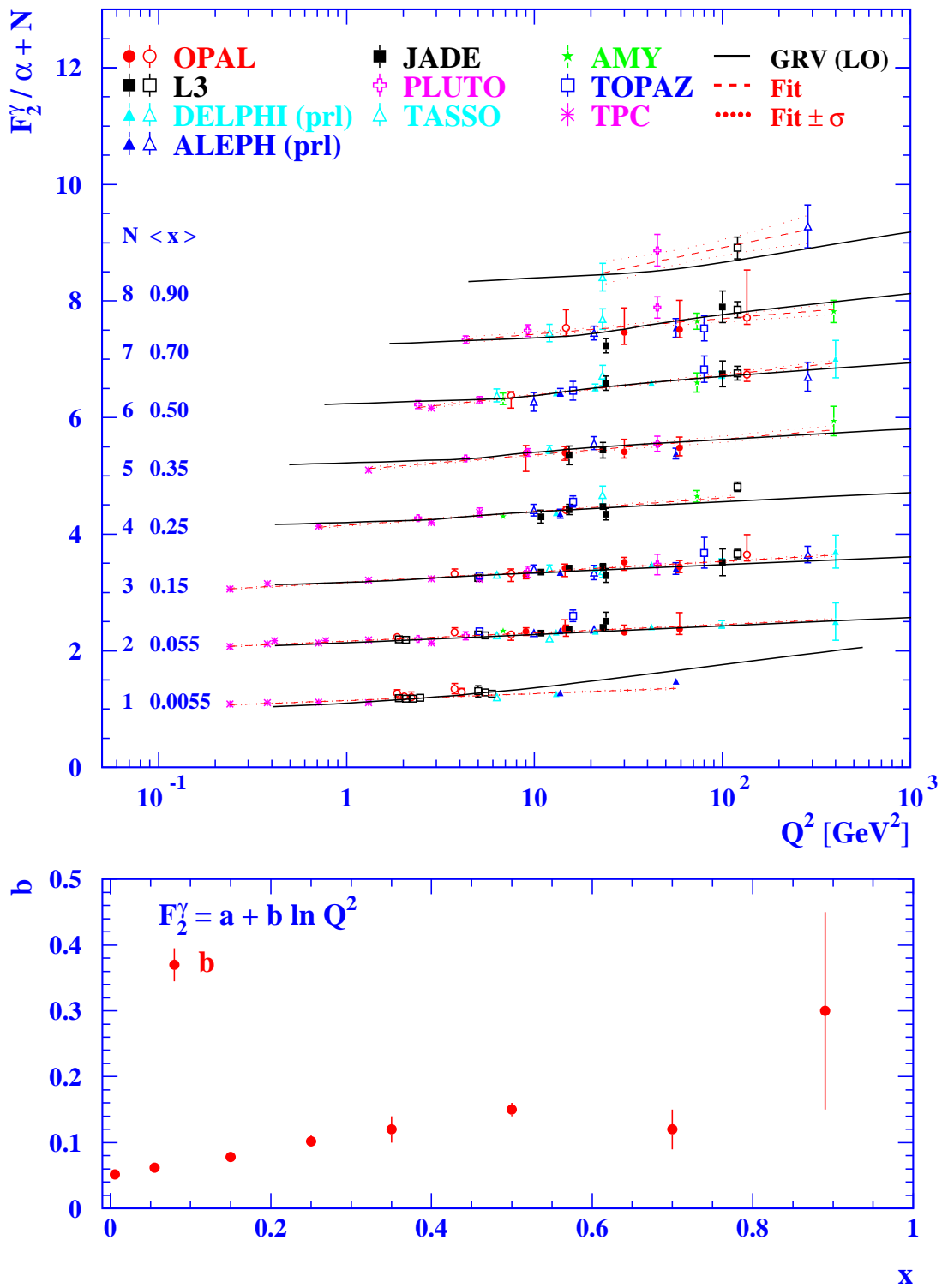
Beschreibung der Daten durch PDF's

$$\chi^2 = \sum_{i=1}^{\text{dof}} \left(\frac{F_{2,i}^\gamma - \langle F_2^\gamma(x, \langle Q^2 \rangle, 0) \rangle}{\sigma_i} \right)^2$$



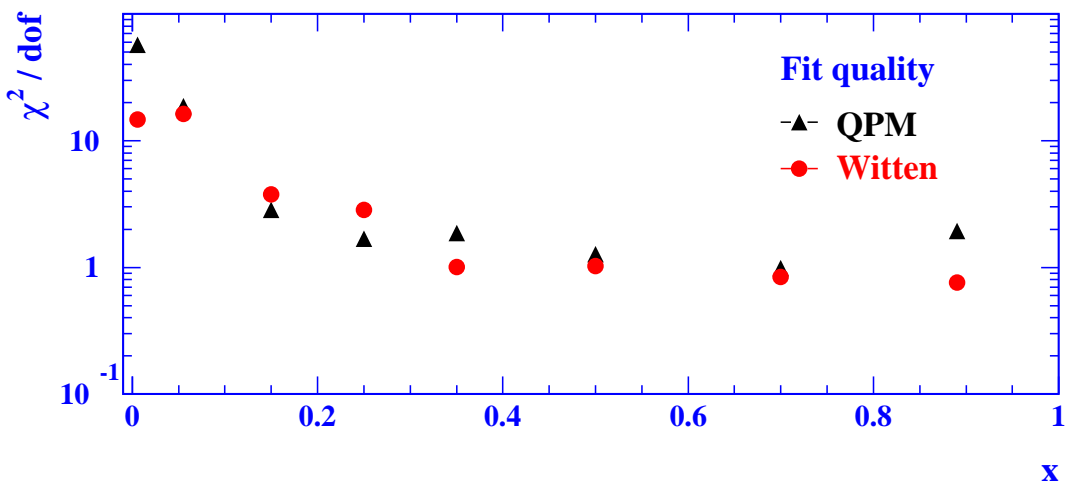
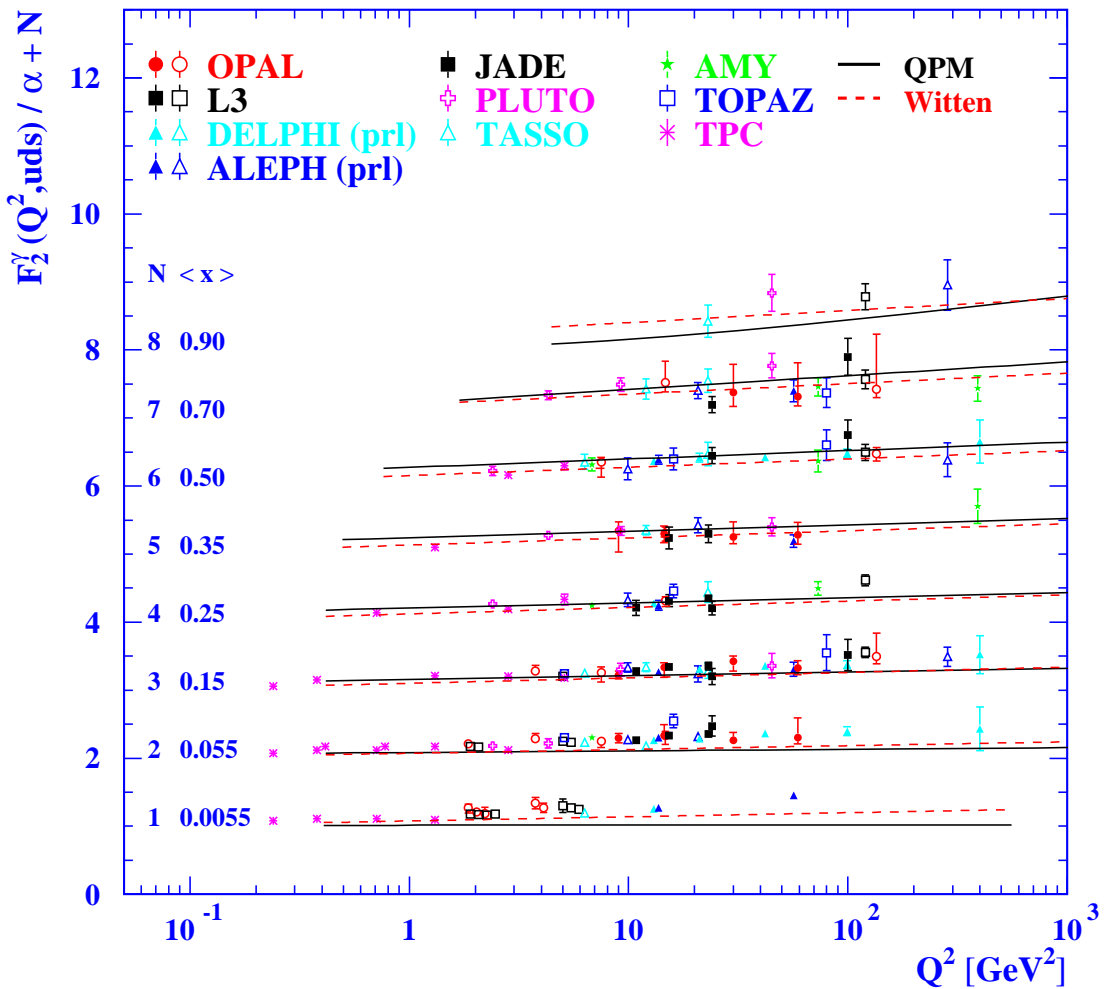
Die meisten Daten können von den PDF's beschrieben werden, aber...

Parametrisierung der Q^2 Entwicklung

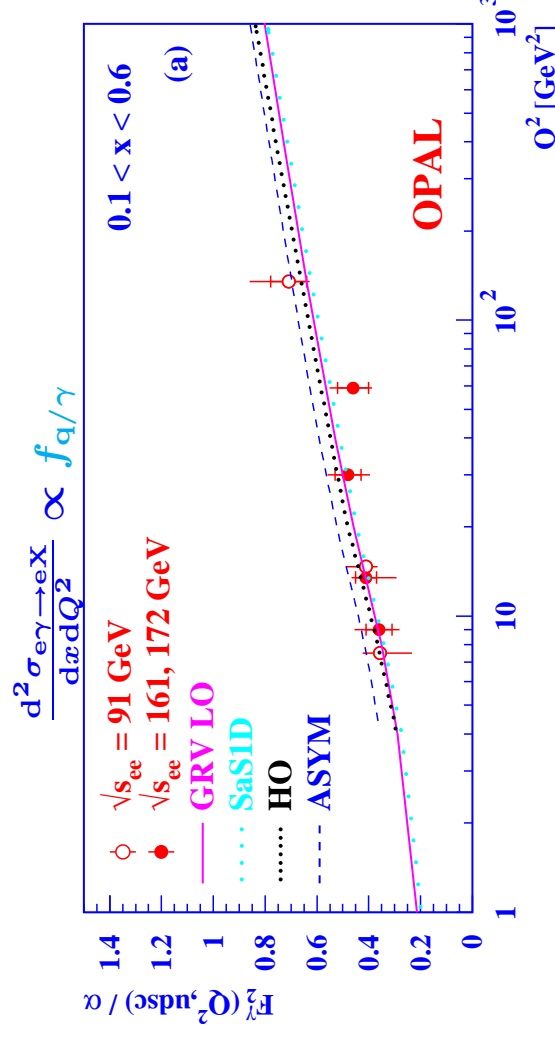
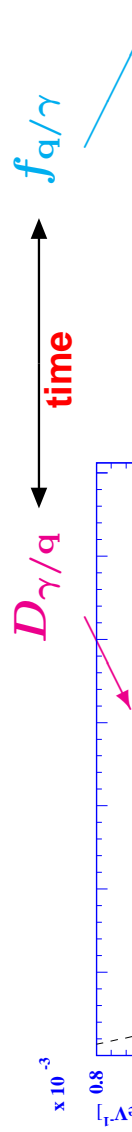
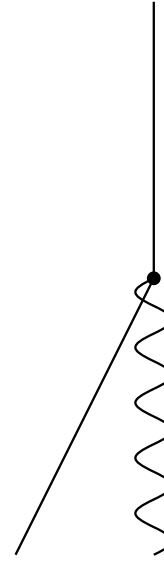


Die angepassten Geraden werden mit x steiler.

Q^2 Entwicklung für $n_f = 3$



Der Photon-Quark Vertex

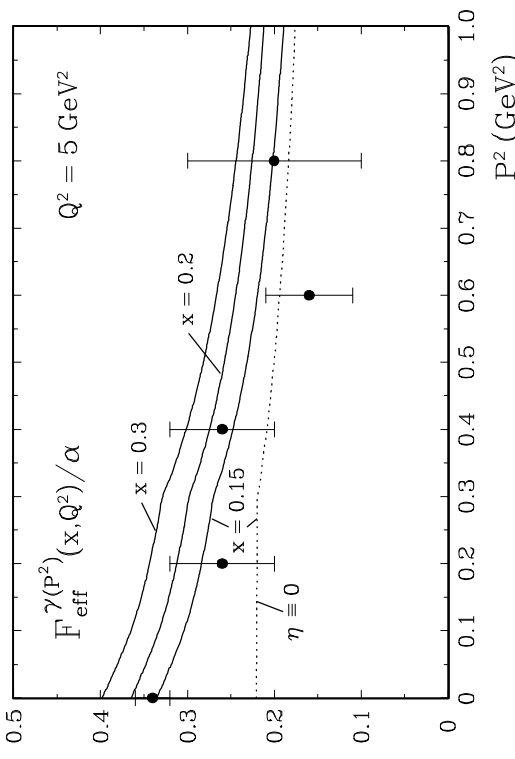
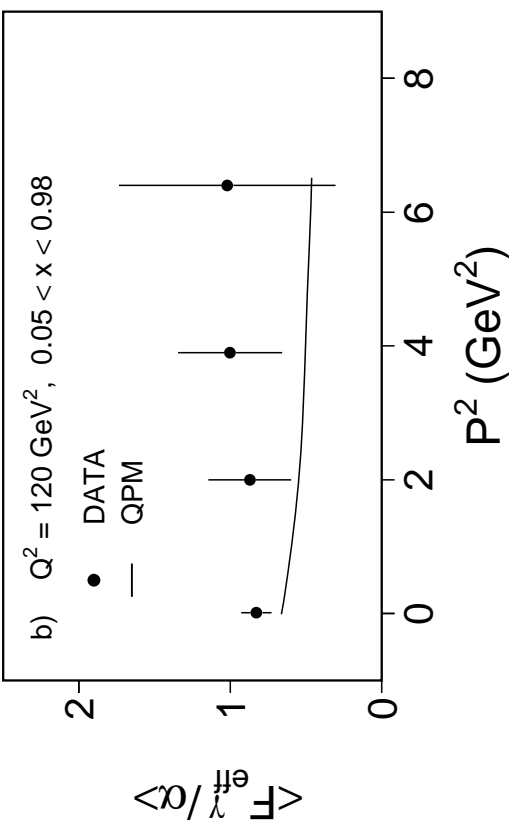
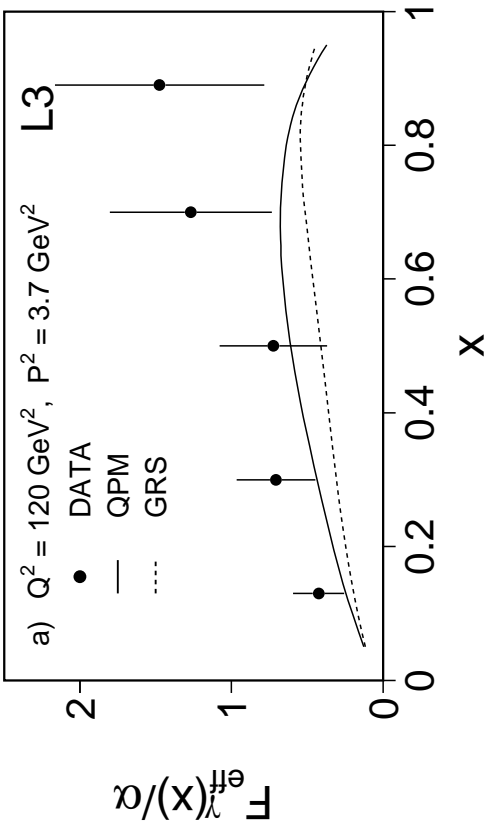
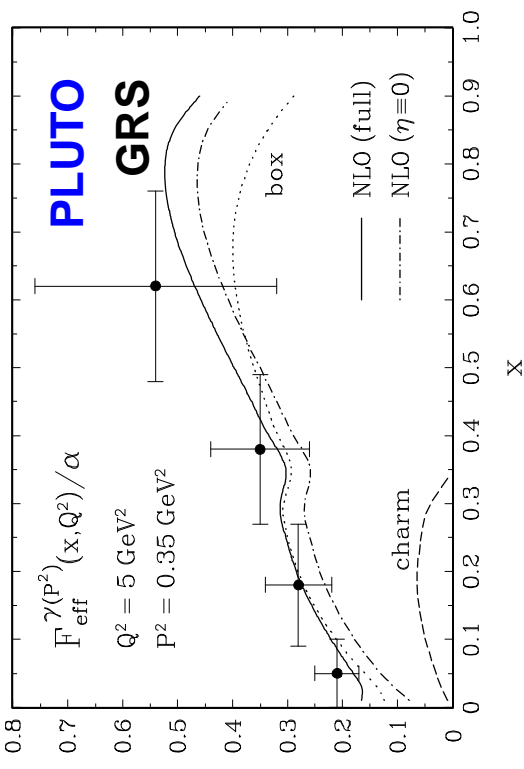


Quark zu Photon Fragmentationsfunktion

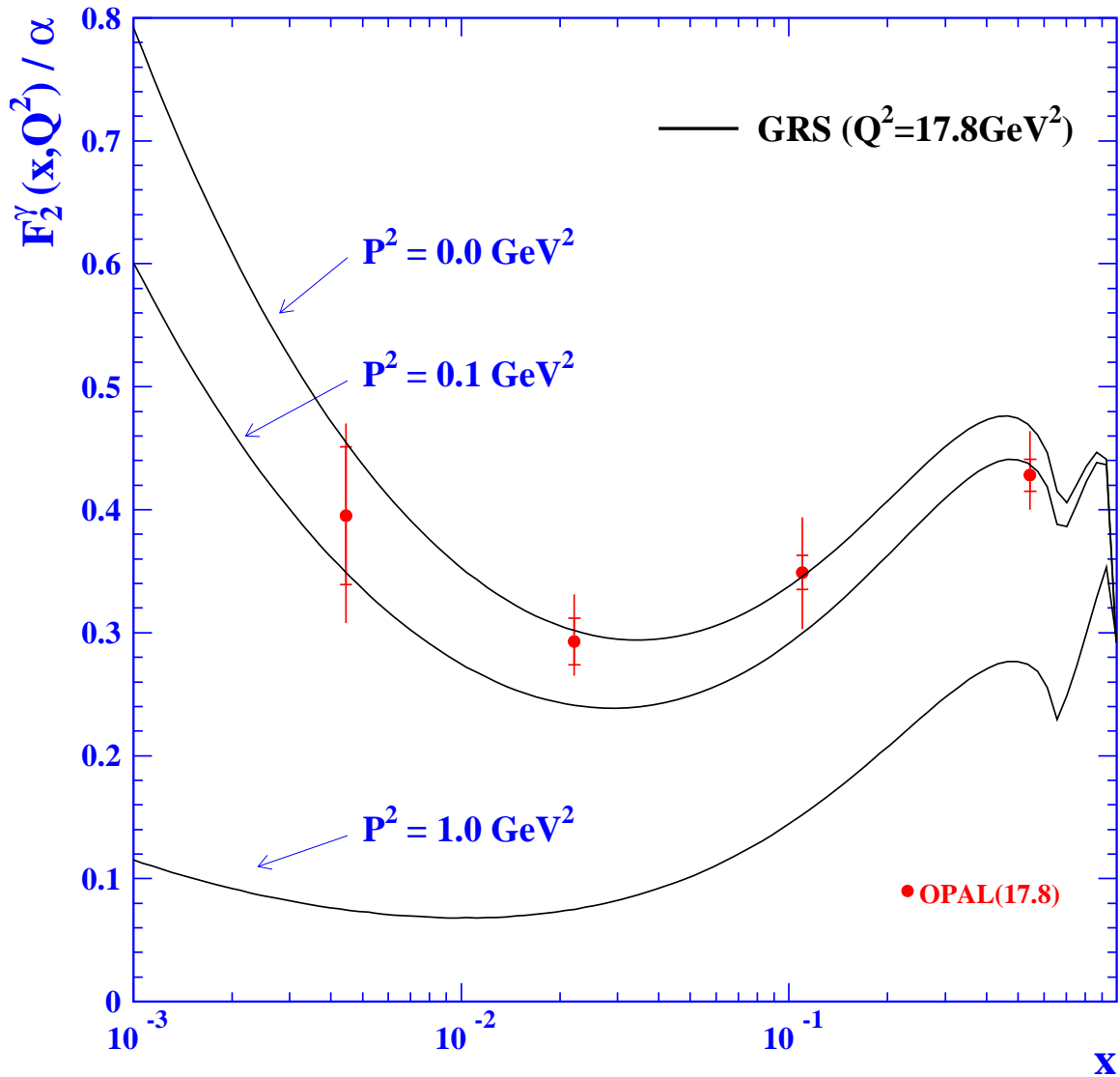
Photon Strukturfunktion

'Es ist alles eine Frage der Zeit'

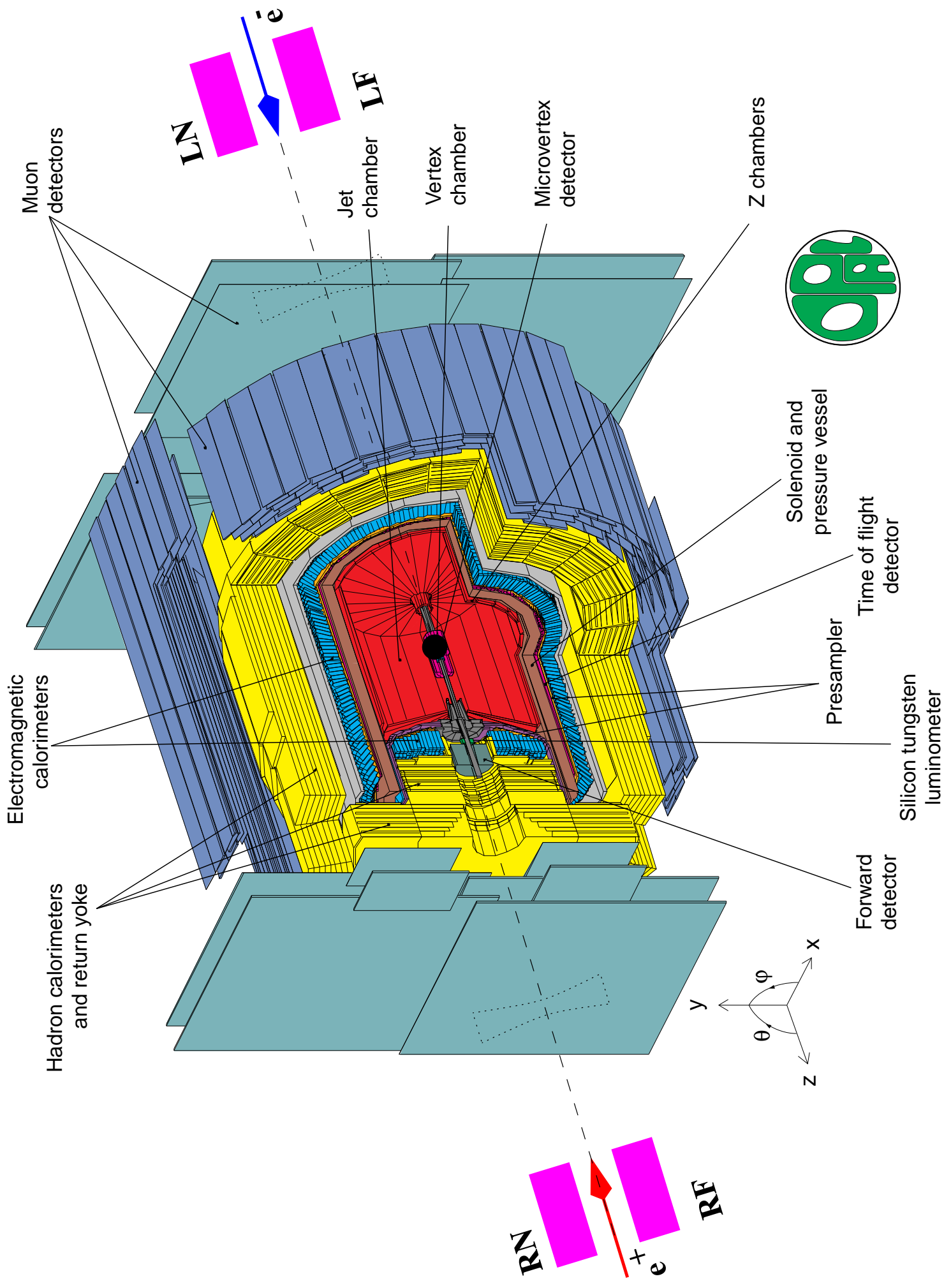
Messungen von F_{eff}^{γ} $\propto \sum \sigma_{AB} + \frac{1}{2}\tau_{TT} \cos 2\bar{\phi} - 4\tau_{TL} \cos \bar{\phi}$



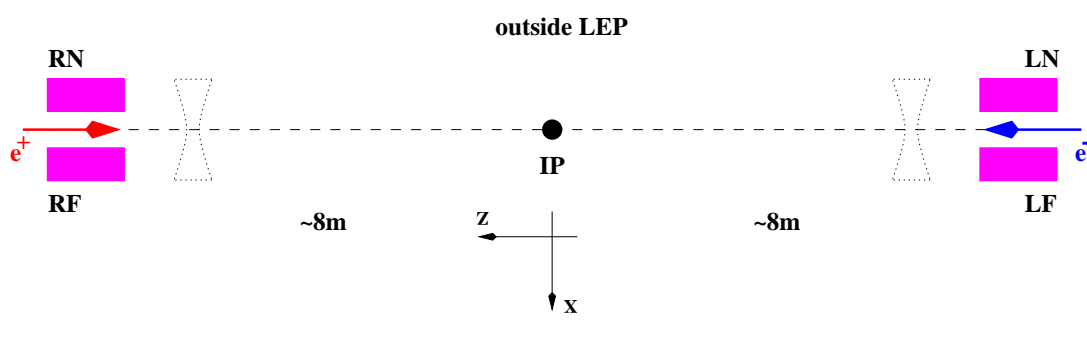
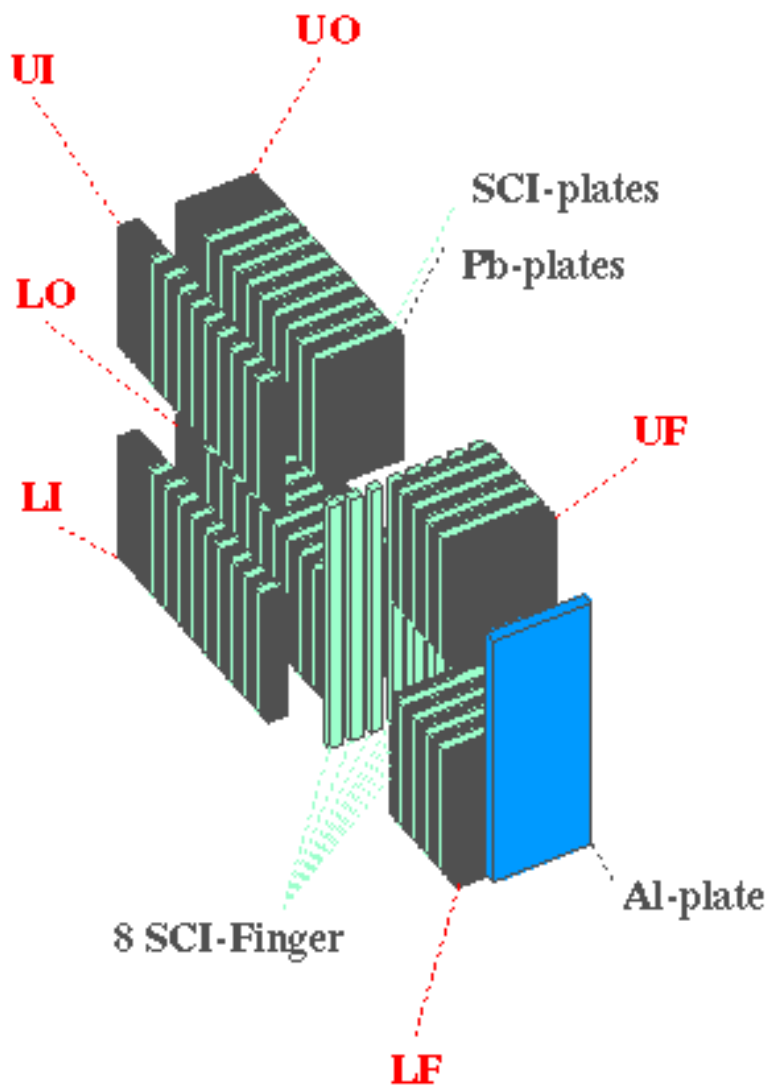
P^2 Unterdrückung von F_2^γ



Für $P^2 = 0.1\text{-}1.0 \text{ GeV}^2$ ist F_2^γ um ca. 30-60% unterdrückt
Eine gute P^2 -Auflösung \Leftrightarrow Orts-Auflösung ist nötig.

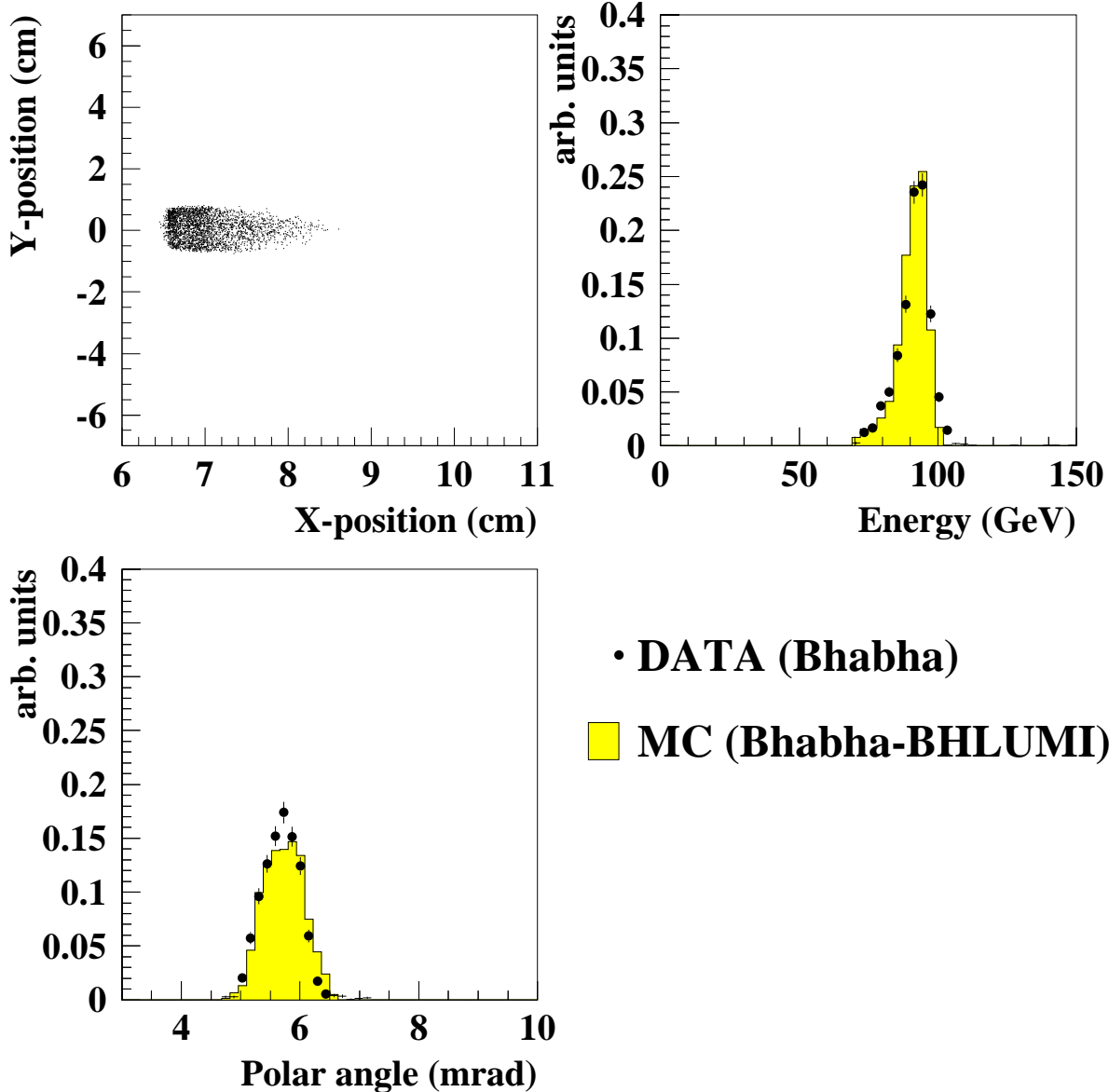


OPAL Far Forward Kalorimeter



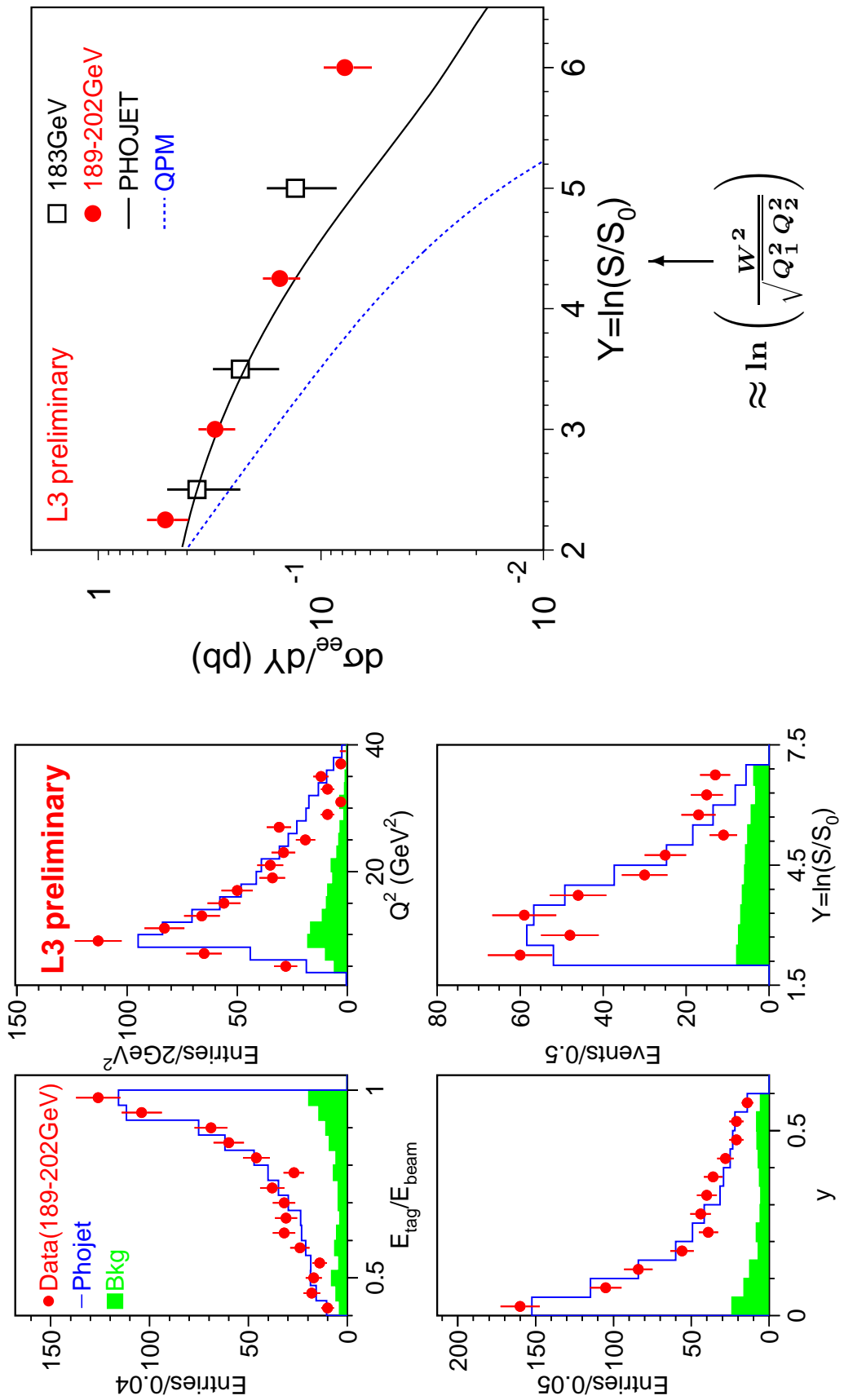
Daten versus Monte Carlo für Bhabha Ereignisse

OPAL preliminary



Das Verhalten des Detektors ist genügend gut
verstanden

Messung von ee → ee $\gamma^*\gamma^*$ → ee hadronen



Welche Vorhersagen sind verifiziert ?

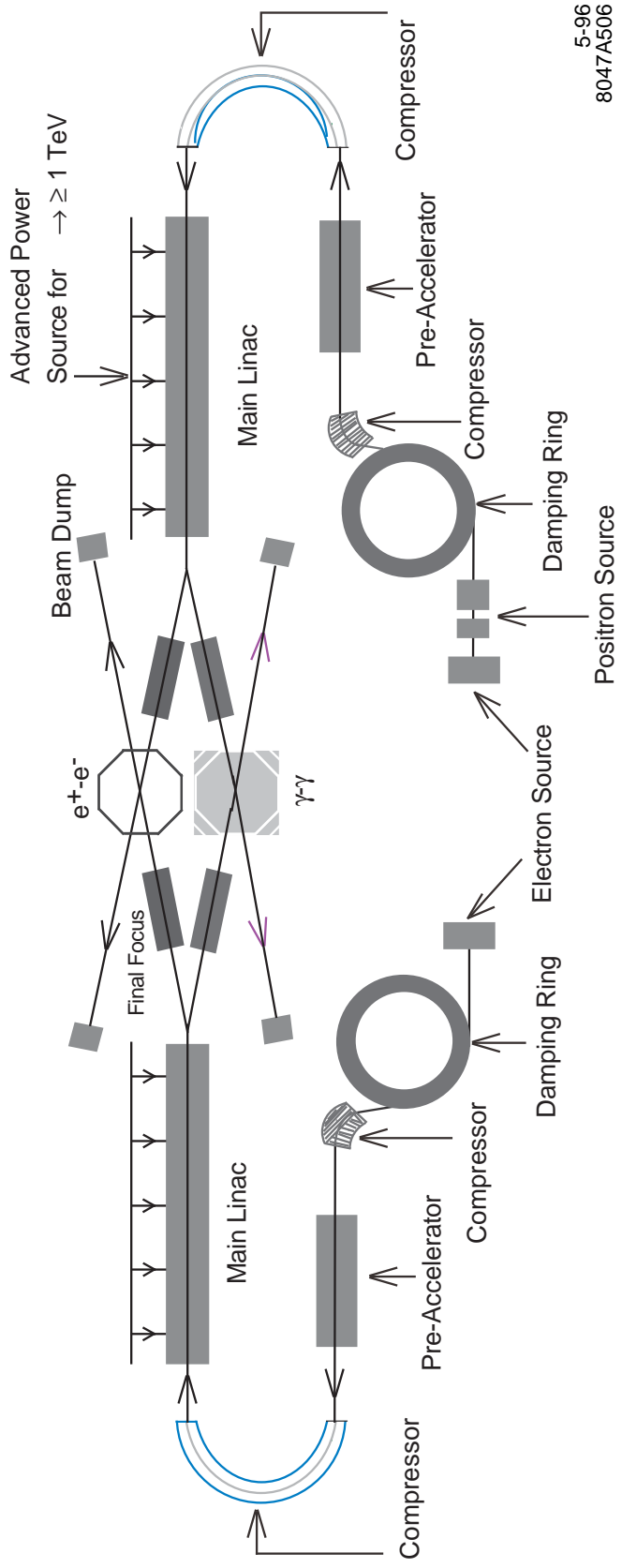
QED Struktur

1. Der Anstieg der QED Struktur für große x ist klar ersichtlich.
2. Die P^2 Unterdrückung der QED Strukturfunktion ist verifiziert.
3. Es gibt eine indirekte Evidenz der Existenz der Interferenzterme.

Hadronische Struktur

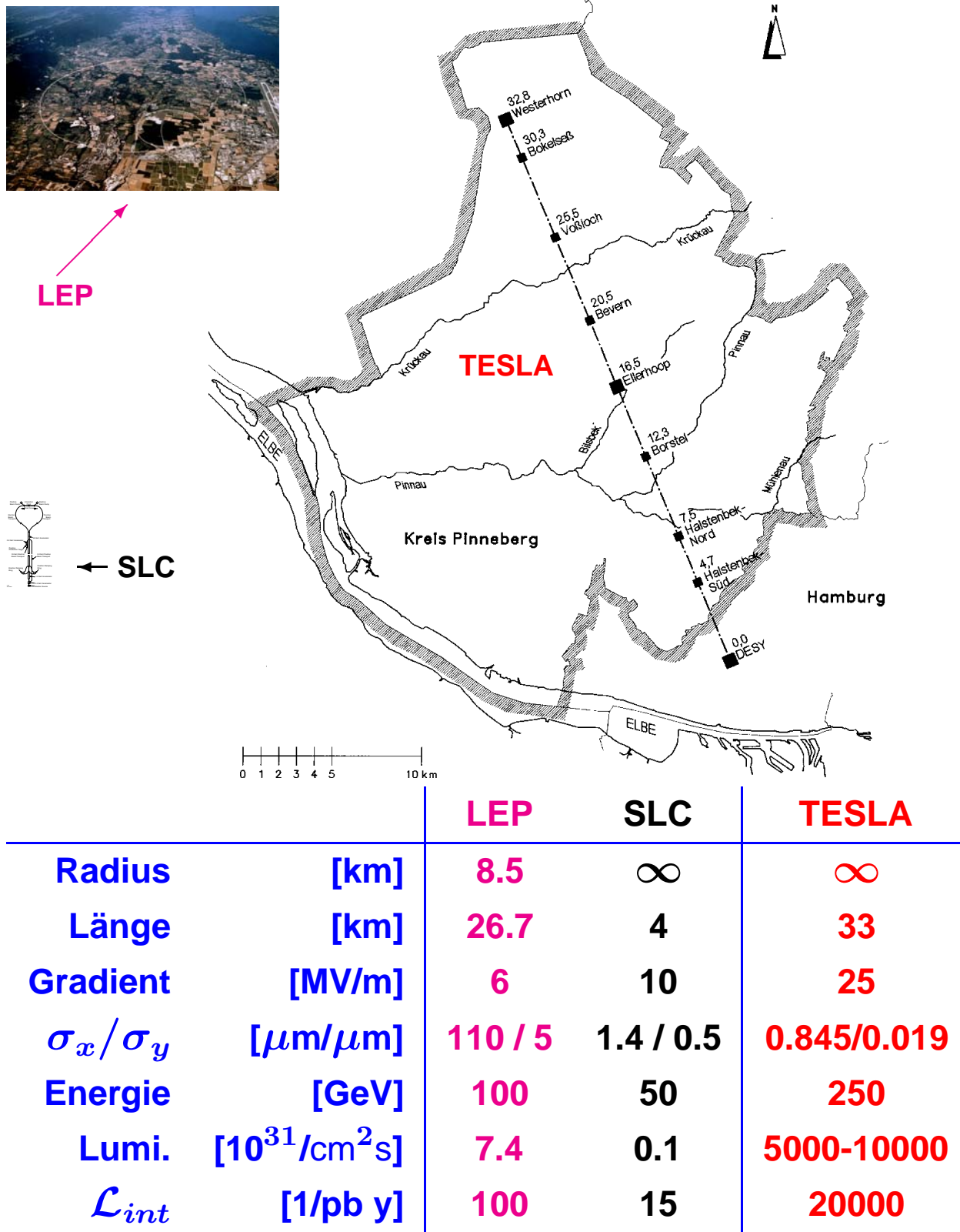
1. Die Q^2 Entwicklung der Photonstruktur zeigt einen deutlich positiven Anstieg für alle Werte von x .
2. Die Akzeptanz reicht nicht aus, um den Anstieg der Struktur für kleine Werte von x zu sehen.

Layout eines zukünftigen Linearbeschleunigers



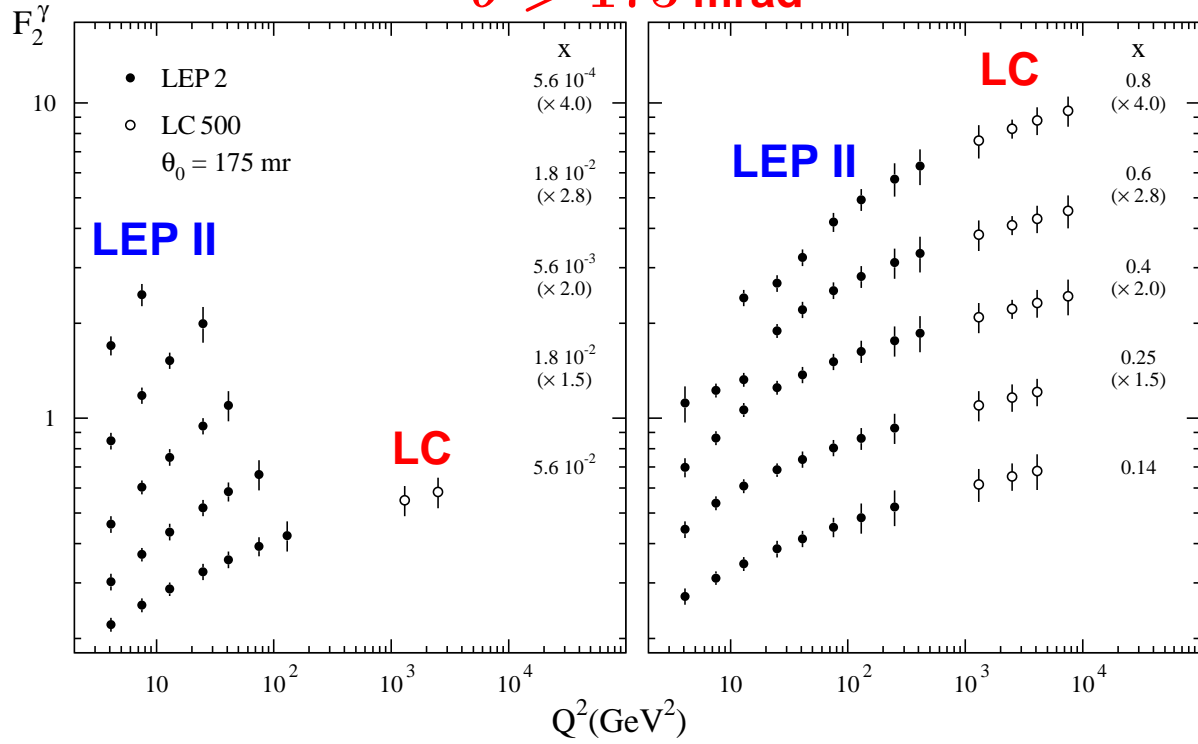
5-96
8047A506

Von LEP/ SLC zu TESLA

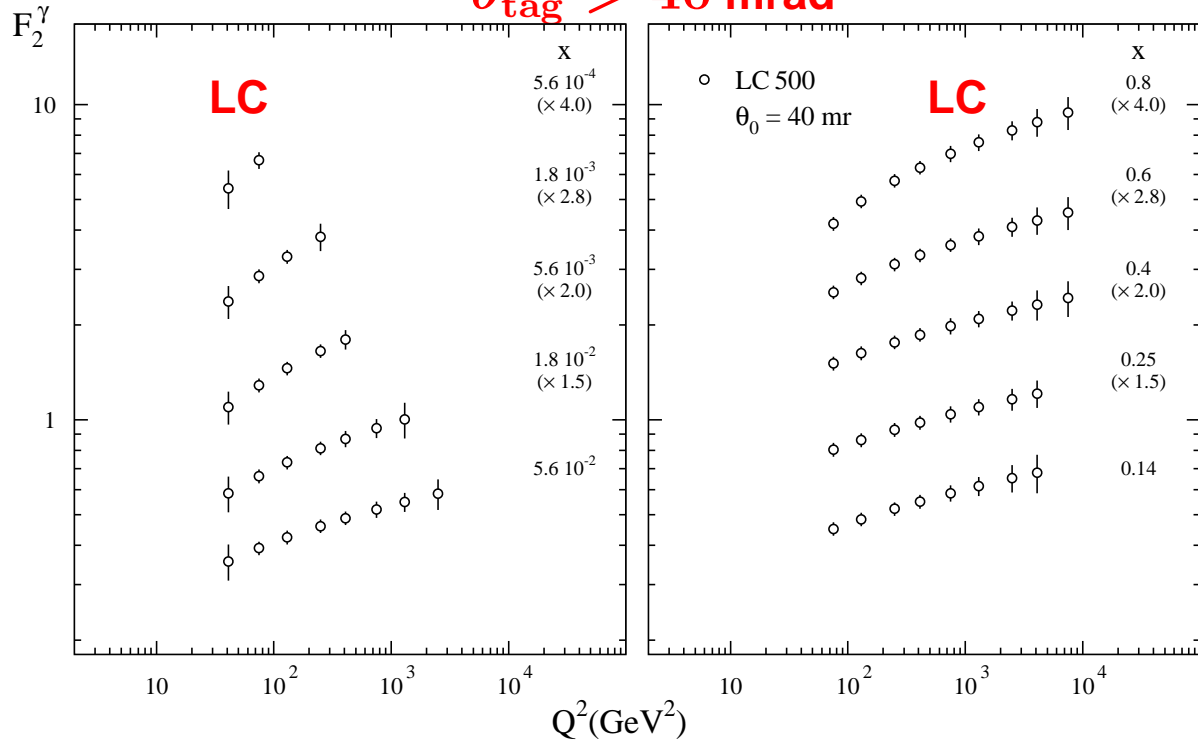


Messbereich von F_2^γ am LC

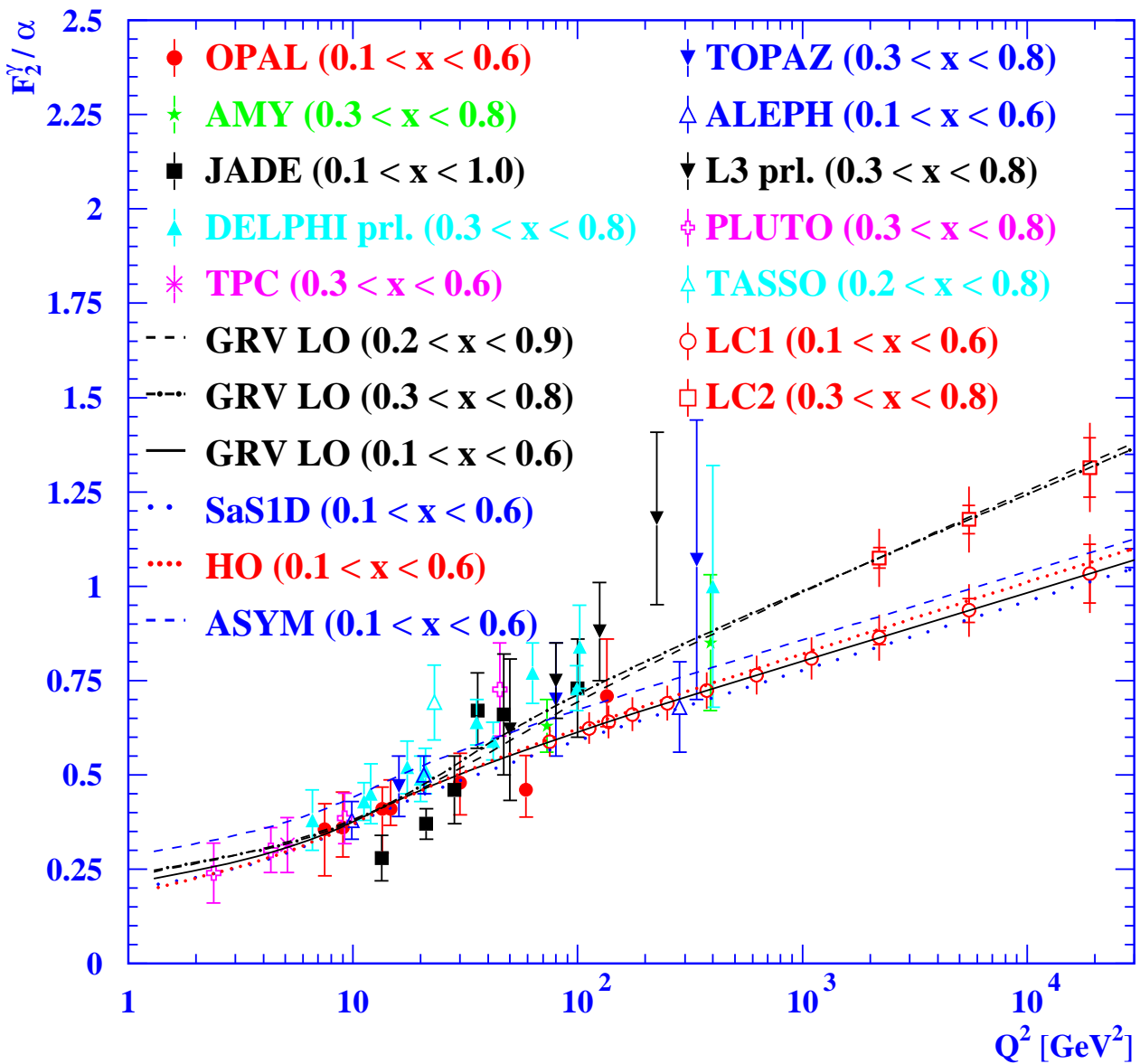
$\theta > 175 \text{ mrad}$



$\theta_{\text{tag}} > 40 \text{ mrad}$



Q^2 Entwicklung von F_2^γ am LC



Der Linearbeschleuniger (LC) wird eine wichtige Rolle
beim Test dieser fundamentalen Vorhersage der
perturbativen QCD spielen.

Zusammenfassung

1. Eine Vielzahl von Messungen zur Photonstruktur wurden durchgeführt. Die globalen Eigenschaften sind theoretisch verstanden, es gibt jedoch noch viel zu verbessern, um zu einer sehr präzisen Vermessung der Photonstruktur zu gelangen.

Ausblick

1. Mit der hohen Gesamtluminosität des LEP Programms und dem besseren Verständnis der zugrundeliegenden Physik werden eine Reihe von Messungen in Zukunft noch genauer werden.
2. In ferner Zukunft erlaubt das geplante Linearbeschleuniger Programm eine Erweiterung der Vermessung der Photonstruktur auf wesentlich höhere Impulsüberträge.

Folien: <http://home.cern.ch/nisius>

Mehr Informationen: Richard Nisius, hepex/9912049